

П-641

20/XII-68

ОБЪЕДИНЕННЫЙ  
ИНСТИТУТ  
ЯДЕРНЫХ  
ИССЛЕДОВАНИЙ

Дубна

4 - 4109



Г.Н.Потетюнко

НОМОГРАММЫ ДЛЯ РЕШЕНИЯ ЗАДАЧ КИНЕМАТИКИ  
ЯДЕРНЫХ РЕАКЦИЙ ТИПА  $I + II = I + 2$   
ПРИ НЕРЕЛЯТИВИСТСКИХ ЭНЕРГИЯХ

НОМОГРАММЫ ДЛЯ РЕШЕНИЯ ЗАДАЧ КИНЕМАТИКИ  
ЯДЕРНЫХ РЕАКЦИЙ ТИПА  $I + II = I + 2$   
ПРИ НЕРЕЛЯТИВИСТСКИХ ЭНЕРГИЯХ

1968

**4 - 410<sup>9</sup>**

Г.Н.Потетюнко

НОМОГРАММЫ ДЛЯ РЕШЕНИЯ ЗАДАЧ КИНЕМАТИКИ  
ЯДЕРНЫХ РЕАКЦИЙ ТИПА I + II = 1 + 2  
ПРИ НЕРЕЛЯТИВИСТИЧЕСКИХ ЭНЕРГИЯХ



## §1. Вводные замечания

Предлагаются номограммы для решения задач кинематики ядерных реакций бинарного типа  $I + II = 1 + 2$  при не-relativistических энергиях. Использованы следующие обозначения:

I – падающая частица,

II – частица мишени,

1 – легкий продукт реакции,

2 – ядро отдачи,

$E_1$  – энергия пучка в лабораторной системе координат,

$E_1$  и  $E_2$  – энергии частиц 1 и 2 в л.с.к.

$E'_1$  и  $E'_2$  – то же в системе центра масс,

$\Theta_1$ ,  $\Theta_2$  и  $\theta_{\text{лаб}}$  – углы вылета частиц 1 и 2 в л.с.к.,

$\theta_{\text{цм}}$  – угол вылета в с.ц.м.,

$\sigma_{\text{лаб}}$  – дифференциальное эффективное сечение в л.с.к.,

$\sigma_{\text{цм}}$  – то же в с.ц.м.,

$Q$  – энерговыделение реакции,

$m_I, m_{II}, m_1, m_2$  – массы частиц I, II, 1 и 2,

$$M = m_I + m_{II} = m_1 + m_2 .$$

На номограммах решаются следующие кинетические задачи:

1-ая задача – пересчёт углов вылета из л.с.к. в с.ц.м.;

2-ая задача – определение угла  $\Theta_2$  по известному  $\Theta_1$  (или наоборот);

3-я задача – пересчёт дифференциальных эффективных сечений из л.с.к. в с.ц.м.;

4-ая задача – определение энергии  $E_1$  по известным  $\Theta_1$  и  $Q$ ;

5-ая задача – определение  $Q$  реакции при известных  $E_1$  и  $\Theta_1$ .

В заключение приводится номограмма для определения высоты потенциального барьера.

Основные формулы для нерелятивистского случая имеют следующий вид /1/:

$$\operatorname{ctg} \Theta_1 = \frac{\rho_1 + \cos \theta_{\text{ЦМ}}}{\sin \theta_{\text{ЦМ}}} \quad (1)$$

$$\operatorname{ctg} \Theta_2 = \frac{\rho_2 - \cos \theta_{\text{ЦМ}}}{\sin \theta_{\text{ЦМ}}} \quad (2)$$

$$\cos \theta_{\text{ЦМ}} = -\rho_1 \sin^2 \Theta_1 \pm \cos \Theta_1 \sqrt{1 - \rho_1^2 \sin^2 \Theta_1} \quad (3)$$

$$\operatorname{ctg} \Theta_2 = \frac{-(-\rho_1 \rho_2) \cos \Theta_1 \pm (\rho_1 + \rho_2) \sqrt{1 - \rho_1^2 \sin^2 \Theta_1}}{(1 - \rho_1^2) \sin \Theta_1} \quad (4)$$

$$\rho_1 = \sqrt{\frac{A_1 E_1}{E_1 - E_{1t}}} \quad (5)$$

$$\rho_2 = \sqrt{\frac{A_2 E_1}{E_1 - E_{1t}}} \quad (6)$$

$$A_1 = \frac{m_1 m_1}{m_{11} m_2} \quad A_2 = \frac{m_1 m_2}{m_{11} m_1} \quad E_{1t} = -Q \frac{M}{m_{11}} \quad$$

$$\frac{\rho_1}{m_1} = \frac{\rho_2}{m_2}$$

$$E_1 - p_1 \sqrt{E_1} + q_1 = 0$$

$$p_1 = 2 \frac{\sqrt{m_1 m_1}}{M} \sqrt{E_1} \cos \Theta_1 \quad (8)$$

$$q_1 = -\frac{1}{M} [m_2 Q + (m_2 - m_1) E_1] \quad (9)$$

$$\sqrt{E_1} = \frac{\sqrt{m_1 m_1 E_1}}{M} \cos \Theta_1 \pm \quad (10)$$

$$\pm \frac{\sqrt{m_1 m_1 E_1 \cos^2 \Theta_1 + M [m_2 Q + (m_2 - m_1) E_1]}}{M}$$

$$Q = \frac{1}{m_2} [M E_{1t} - 2\sqrt{m_1 m_2} E_{1t} E_{1t} \cos \Theta_{1t} + (m_2 - m_1) E_{1t}] \quad (11)$$

$$E'_{1t} = \frac{m_2 m_{1t}}{M} (E_{1t} - E_{1t}) \quad (12a)$$

$$E'_{2t} = \frac{m_1 m_{1t}}{M} (E_{1t} - E_{1t}) \quad (12b)$$

$$\frac{\sigma_{\text{цм}}}{\sigma_{\text{лаб}}} = \frac{\sqrt{1 - \rho^2 \sin^2 \theta_{\text{лаб}}}}{(\sqrt{1 - \rho^2 \sin^2 \theta_{\text{лаб}}} \pm \rho \cos \theta_{\text{лаб}})^2}. \quad (13)$$

Для решения первых трех задач необходимо предварительно на вспомогательных номограммах определить параметры  $\rho_1$  и  $\rho_2$ , представляющие собою отношение переносной скорости (т.е. скорости системы центра масс относительно л.с.к.) к скорости частицы (1 или 2) в с.ц.м. Номограммы построены для случая  $\rho_1 \leq 1$ . При этом для решения первой и третьей задачи необходимо знать только один параметр —  $\rho_1$  или  $\rho_2$  (в зависимости от того, каким продуктом реакции мы интересуемся), а для решения второй задачи необходимо знать оба параметра —  $\rho_1$  и  $\rho_2$ . Порядок решения на номограммах первой задачи ясен из схемы пользования (см. приложение). Опишем порядок решения второй задачи.

- Определяем параметры  $\rho_1$  и  $\rho_2$ .
- По известным  $\rho_{1\text{лаб}}$  и  $\Theta_{1t}$  на номограмме определяем  $\theta_{\text{цм}}$ .
- Вычисляем угол  $\theta_{\text{цм}} = \pi - \theta_{\text{цм}}$ .
- По известным  $\tilde{\theta}_{\text{цм}}$  и  $\rho_2$  на номограмме определяем  $\theta_{\text{лаб}}$ ; полученное значение есть  $\Theta_2$ .

При  $\rho_2 > 1$  угол  $\Theta_2$  вычисляется по формуле (2).

Для решения третьей задачи служит номограмма, помещенная на развороте настоящего препринта. Метод пользования номограммой ясен из схемы пользования. Отметим некоторые особенности этой номограммы.

Шкала  $\sigma_{\text{лаб}}$  построена в пределах от 1 до 10 произвольных единиц. Шкала  $\sigma_{\text{цм}}$  дана в тех же единицах, что и шкала  $\sigma_{\text{лаб}}$ . Участок

шкалы  $\sigma_{\text{лаб}}$  от 1 до 3,162 помещен с левой, а от 3,162 до 10 – с правой стороны носителя. Соответственно этому шкала  $\sigma_{\text{цм}}$  также разбита на два участка – левый и правый, при этом левой стороне шкалы  $\sigma_{\text{лаб}}$  соответствует левая же сторона шкалы  $\sigma_{\text{цм}}$ , а правой – правая.

Порядок решения четвертой задачи следующий:

- на вспомогательных номограммах определяем  $r_1$  и  $\varphi_1$  ;
- зная  $r_1$  и  $\varphi_1$ , на основной номограмме определяем  $E_1$ .

Пятая задача решается следующим образом:

- на вспомогательной номограмме определяем  $r_1$  ;
- зная  $r_1$  и  $E_1$ , на основной номограмме определяем  $\varphi_1$  ;
- зная  $\varphi_1$ , на второй вспомогательной номограмме (или путем непосредственных вычислений) определяем  $Q$ .

Вспомогательные номограммы для определения  $r_1$  приводятся (см. приложение). Одна из них построена для случая  $E_1 \leq 25$  Мэв и  $0,01 \leq \sqrt{m_1 m_1} / M \leq 0,1$ , а другая – для случая  $25 \text{ Мэв} \leq E_1 \leq 200 \text{ Мэв}$  и  $0,007 < \sqrt{m_1 m_1} / M \leq 0,07$ .

Если при работе с первой вспомогательной номограммой величина  $\sqrt{m_1 m_1} / M$  окажется меньше, чем 0,01, то поступаем следующим образом: увеличиваем  $\sqrt{m_1 m_1} / M$  в 10 раз и находим  $r_1$  для увеличенного значения  $\sqrt{m_1 m_1} / M$ , после чего полученное значение  $r_1$  уменьшаем в 10 раз. При  $\sqrt{m_1 m_1} / M > 0,1$  поступаем наоборот. Совершенно аналогично поступаем и при работе со второй вспомогательной номограммой.

Вспомогательная номограмма для уравнения (9) для каждой конкретной реакции должна строиться отдельно. Сама номограмма весьма проста и строится очень быстро. Опишем порядок ее построения.

Предположим, что нам заданы  $Q$  и пределы изменения  $E_1 = E_{1\min}$  и  $E_{1\max}$ .

- Вычисляем  $\varphi_1$  для  $E_1 = E_{1\min}$  и  $E_1 = E_{1\max}$ .
- На листе миллиметровой бумаги выбираем оси декартовой системы координат. По вертикальной оси будем откладывать  $\varphi_1$ , а по горизонтальной –  $E_1$ .
- На горизонтальной оси в произвольном масштабе строим шкалу  $E_1$ .
- На вертикальной оси в произвольном масштабе строим шкалу  $\varphi_1$ .
- Наносим две точки, соответствующие значениям  $\varphi_1$ , вычисленным

для  $E_1 = E_{1\min}$  и  $E_1 = E_{1\max}$  и проводим через них прямую линию. Номограмма готова.

Если  $Q$  неизвестно, то наносим несколько прямых, соответствующих некоторым значениям  $Q$  вблизи ожидаемого.

Предлагаемые номограммы могут быть использованы не только для решения перечисленных выше кинематических задач, но и для анализа влияния погрешностей эксперимента на погрешности определения ответных величин. Проиллюстрируем это на примере номограммы, предназначеннной для пересчёта сечений из л.с.к. в с.ц.м.

На погрешность определения  $\Delta\sigma_{\text{цм}}$  оказывают влияние, в частности, следующие факторы:

- а) погрешность  $\Delta\sigma_{\text{лаб}}$  определения сечения в л.с.к.;
- б) погрешность  $\Delta E_1$  в определении энергии пучка, которая, в свою очередь, складывается из двух величин – погрешности, определяемой статистическим разбросом частиц пучка по энергиям, и погрешности, возникающей при измерении энергии пучка;
- в) погрешность  $\Delta\theta_{\text{лаб}}$ , определяемая неточностью в определении угла вылета, и погрешностью, определяемой величиной телесного угла, "вырезаемого" детектором.

Погрешность  $\Delta\sigma'_{\text{цм}}$  ( $\Delta\sigma_{\text{лаб}}$ ), определяемая величиной  $\Delta\sigma_{\text{лаб}}$ , находится на номограмме так же, как и  $\sigma_{\text{цм}}$ , с той лишь разницей, что на шкале  $\sigma_{\text{лаб}}$  отсчитывается  $\Delta\sigma_{\text{лаб}}$ , и на шкале  $\sigma_{\text{цм}} - \Delta\sigma_{\text{цм}}$ . Для анализа влияния погрешности  $\Delta\sigma_{\text{лаб}}$  на  $\Delta\sigma'_{\text{цм}}$  поступим следующим образом: через точку, в которой сливаются все кривые сетчатой номограммы, проведем мысленно горизонтальную прямую. Для точек сетчатой номограммы, лежащей на этой прямой,  $\Delta\sigma'_{\text{цм}} / \Delta\sigma_{\text{лаб}} = 1$ , т.е.  $\Delta\sigma'_{\text{цм}} = \Delta\sigma_{\text{лаб}}$ . В частности, при  $\rho \ll 1$  для любых  $\rho$  и  $\theta_{\text{лаб}}$  с хорошей точностью выполняется равенство  $\Delta\sigma'_{\text{цм}} \approx \Delta\sigma_{\text{лаб}}$ . Для точек сетчатой номограммы, лежащих ниже указанной выше прямой, отношение  $\Delta\sigma'_{\text{цм}} / \Delta\sigma_{\text{лаб}}$  меньше единицы и уменьшается по мере удаления от прямой, а для точек, лежащих выше этой прямой, отношение  $\Delta\sigma'_{\text{цм}} / \Delta\sigma_{\text{лаб}}$  больше единицы и увеличивается по мере удаления от горизонтальной прямой. Особенно больших значений отношение  $\Delta\sigma'_{\text{цм}} / \Delta\sigma_{\text{лаб}}$  достигает при  $\rho$ , близких к единице, и  $\theta_{\text{лаб}}$ , лежащих в задней полусфере.

Погрешность  $\Delta E_1$  входит в номограмму через  $\Delta \rho$ . Величина  $\Delta \rho$  в каждом конкретном случае должна находиться отдельно. При  $\rho \ll 1$  погрешность  $\Delta \rho$  обычно очень мала и ею можно пренебречь. Другими словами, при  $\rho \ll 1$  величиной  $\Delta \sigma''_{\text{цм}} (\Delta E_1)$ , определяемой погрешностью  $\Delta E_1$ , в большинстве случаев можно пренебречь. Больше того, можно указать допустимые значения  $\Delta E_1$ , т.е. такие, которые почти не сказываются на погрешности  $\Delta \sigma''_{\text{цм}}$ . В некоторых случаях (например, при  $|Q|/E_1 \ll 1$ ) допустимые значения  $\Delta E_1$  могут принимать весьма большие значения.

В тех случаях, когда кривые на сетчатой номограмме идут почти горизонтально (например, при  $\rho \approx 0.3 \div 0.5$  и  $\theta_{\text{лаб}} \approx 78^\circ \div 80^\circ$ ) даже очень большие погрешности  $\Delta \rho$  почти никак не сказываются на величине погрешности  $\Delta \sigma''_{\text{цм}}$ , а при  $\rho$ , близких к единице, и  $\theta_{\text{лаб}}$ , лежащих в задней полусфере, даже незначительные погрешности  $\Delta \rho$  приводят к очень большим погрешностям  $\Delta \sigma''_{\text{цм}}$ .

Погрешность  $\Delta \sigma'''_{\text{цм}} (\Delta \theta_{\text{лаб}})$ , зависящая от погрешности  $\Delta \theta_{\text{лаб}}$ , определяется величиной вертикального отрезка на сетчатой номограмме, равного при заданном  $\rho$  расстоянию между соответствующими кривыми  $\theta_{\text{лаб}}$ . На номограмме ясно видно, что при  $\rho \ll 1$  погрешность  $\Delta \sigma'''_{\text{цм}}$  можно пренебречь и допустимые значения  $\Delta \theta_{\text{лаб}}$  в этом случае могут принимать весьма большие значения. При  $\rho$ , близких к единице, и  $\theta_{\text{лаб}}$ , лежащих в задней полусфере, даже незначительные погрешности  $\Delta \theta_{\text{лаб}}$  приводят к очень большим погрешностям  $\Delta \sigma'''_{\text{цм}}$ .

## §2. Уравнения элементов номограмм

В настоящем параграфе приводятся уравнения элементов и отмечаются некоторые особенности основных кинематических номограмм. Вспомогательные номограммы (т.е. номограммы для определения  $\rho$  и  $r_1$ ) не рассматриваются. (Заметим мимоходом, что сделанное в предыдущем параграфе разделение номограмм на основные и вспомогательные в значительной мере условно и служит, главным образом, для удобства изложения).

Напомним один факт из номографии. Рассматриваемые ниже уравнения являются частными случаями более общего уравнения следующего вида:

$$f_1(a_1) f_3(a_3) + f_2(a_2) g_3(a_3) + h_3(a_3) = 0. \quad (14)$$

Здесь  $f_i(a_i)$  ( $i = 1, 2, 3$ ),  $g_3(a_3)$  и  $h_3(a_3)$  – произвольные непрерывные функции своих аргументов. В номографии уравнение (14) называется уравнением формы Коши/2,3,4/. Уравнения элементов номограммы формы Коши приведены в табл. 1.

Таблица 1

Координаты	Шкала $a_1$	Шкала $a_2$	Шкала $a_3$
X	0	d	$\frac{d}{1 + \frac{\mu_2}{\mu_1} - \frac{f_3}{g_3}}$
Y	$\mu_1 f_1$	$h + \mu_2 f_2$	$\frac{h - \mu_2 \frac{f_3}{g_3}}{1 + \frac{\mu_2}{\mu_1} - \frac{f_3}{g_3}}$

Из таблицы 1 видно, что носителем шкалы  $a_1$  служит прямая  $X = 0$ , носителем шкалы  $a_2$  – прямая  $X = d$ , а носитель шкалы  $a_3$  – кривая линия. Схема номограммы приведена на рис. 1. Параметры  $\mu_1, \mu_2, d$  и  $h$  имеют простой геометрический смысл: величины  $\mu_1$  и  $\mu_2$  – это масштабные множители шкал  $a_1$  и  $a_2$ ; величина  $d$  есть расстояние между носителями шкал  $a_1$  и  $a_2$ ; параметр  $h$  позволяет сдвигать шкалу  $a_2$  вдоль своего носителя. Методика подбора численных значений параметров при номографировании конкретного уравнения подробно описана в книге Б.А.Невского/3/ и иллюстрируется ниже на конкретном примере.

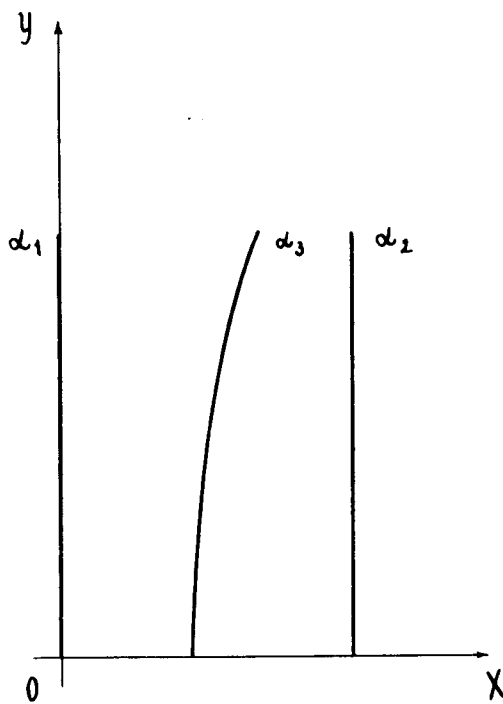


Рис. 1.

Отметим еще одну характерную особенность номограмм формы Коши. Исключая из уравнений третьего столбца табл. 1 параметр  $\alpha_3$ , получаем уравнение носителя шкалы  $\alpha_3$ :

$$(15) \quad F(X, Y) = 0,$$

а деля нижнее уравнение на верхнее, получаем уравнение пучка прямых, зависящих от  $\alpha_3$ :

$$(16) \quad Y = \frac{X}{d} \left( h - \mu_2 \frac{h_3}{g_3} \right).$$

На любой прямой пучок прямых (16) образует некоторую шкалу  $\alpha_3$ . Таким образом, криволинейная шкала  $\alpha_3$  представляет собою совокупность носителя шкалы – кривой (15) и пучка прямых (13), зависящих от  $\alpha_3$ . Другими словами, криволинейная шкала  $\alpha_3$  образуется проецированием на криволинейный носитель (15) некоторой прямолинейной шкалы  $\alpha_3$ . Центр проецирования находится в начале координат. В качестве носителя проецируемой шкалы  $\alpha_3$  может служить любая прямая, в частности – прямая  $X = d$ , т.е. носитель шкалы  $\alpha_2$ . В этом случае уравнение проецируемой шкалы  $\alpha_3$  имеет следующий вид:

$$Y = h - \mu_2 \frac{h_3}{g_3} .$$

На практике в ряде случаев проецируемая шкала  $\alpha_3$  совпадает со шкалой  $\alpha_2$ . Если это обстоятельство имеет место, и если центр проецирования и носитель занимают достаточно удобное взаимное положение, то построение шкалы  $\alpha_3$  существенно упрощается: достаточно просчитать сравнительно небольшое число точек шкалы  $\alpha_3$ , необходимых для вычерчивания самого носителя (например, при размерах номограммы 250 x 180 мм и достаточно большом радиусе кривизны носителя можно просчитать 15 – 20 точек), сама же шкала  $\alpha_3$  панссится на носитель путем проецирования шкалы  $\alpha_2$ ; посчитанные точки шкалы  $\alpha_3$  могут служить для контроля правильности проецирования. Проецирование очень удобно осуществлять при помощи прямой, нанесенной на какой-либо прозрачный легко прокалываемый (но достаточно упругий) материал (например, на картографический пластик, фотопленку и др.) и закрепленной при помощи иглы в центре проецирования (так что прямая свободно вращается вокруг центра проецирования).

a) Номографирование уравнений (1) и (2).

Оба уравнения (1) и (2) – можно записать в следующем виде:

$$\operatorname{ctg} \theta_{\text{лаб}} = \frac{\rho + \cos \theta_{\text{цм}}}{\sin \theta_{\text{цм}}} . \quad (17)$$

Уравнение (17) по своему виду полностью совпадает с уравнением (1) и отличается от него лишь тем, что отсутствует индекс у  $\rho$  и обозначение  $\Theta_1$  заменено на  $\theta_{\text{лаб}}$ ; уравнение (2) приводится к виду уравнения (17) заменой  $\theta_{\text{цм}}$  на  $\pi - \theta_{\text{цм}}$ .

Первая задача сводится к решению уравнения (1) относительно  $\theta_{\text{цм}}$ , она решается одним наложением линейки. Вторая задача решается в два этапа: сначала из уравнения (1) находится  $\theta_{\text{цм}}$ , после чего, зная  $\theta_{\text{цм}}$ , из уравнения (2) определяем  $\Theta_2$ .

Для получения уравнений элементов номограммы приводим уравнение (17) к виду формулы Коши (14):

$$\rho + 1 + (- \operatorname{ctg} \theta_{\text{лаб}}) \sin \theta_{\text{цм}} + \cos \theta_{\text{цм}} = 0. \quad (18)$$

Уравнения элементов номограммы формы (18) приведены в табл. 2.

Таблица 2

Координаты	Шкала $\rho$	Шкала $\theta_{\text{лаб}}$	Шкала $\theta_{\text{цм}}$
X	0	d	$\frac{d}{1 + \frac{\mu_2}{\mu_1} \frac{1}{\sin \theta_{\text{цм}}}}$
Y	$\mu_1 \cdot \rho$	$h - \mu_2 \operatorname{ctg} \theta_{\text{лаб}}$	$\frac{h - \mu_2 \operatorname{ctg} \theta_{\text{цм}}}{1 + \frac{\mu_2}{\mu_1} \frac{1}{\sin \theta_{\text{цм}}}}$

Носителем шкалы  $\theta_{\text{цм}}$  служит кривая второго порядка

$$\left[ \frac{h^2}{\mu_2^2} + \frac{\mu_2^2}{\mu_1^2} - 1 \right] z^2 + \frac{d^2}{\mu_1^2} Y^2 + 2 \frac{d h}{\mu_1 \mu_2} XY - 2 d \left( \frac{h^2}{\mu_2^2} - 1 \right) X =$$

$$-2 \frac{d^2 h}{\mu_1 \mu_2} Y + \left( \frac{h^2}{\mu_2} - 1 \right) d^2 = 0, \quad (19)$$

вид которой зависит от значений величин  $\mu_1, \mu_2$  и  $h^{5,6}$ . Проецируемая прямолинейная шкала  $\theta_{\text{ЦМ}}$ , расположенная на носителе  $X = d$ , имеет следующий вид:

$$Y = h - \mu_2 \operatorname{ctg} \theta_{\text{ЦМ}},$$

т.е. полностью совпадает со шкалой  $\theta_{\text{лаб}}$ . Таким образом, шкала  $\theta_{\text{ЦМ}}$  образуется проецированием на кривую (19) из точки  $\rho = 0$  шкалы  $\theta_{\text{лаб}}$ . Этот факт из других соображений был ранее отмечен Р.И.Новобрановой<sup>7</sup> и при построении рабочих номограмм широко нами использовался.

### б) Номографирование уравнения (13)

Логарифмируя, приводим уравнение (13) к виду так называемой второй канонической формы

$$f_1(\alpha_1) + f_2(\alpha_2) = f_3(\alpha_3),$$

которая является частным случаем формы Коши (14)

$$\ell g \sigma_{\text{ЦМ}} - \ell g \sigma_{\text{лаб}} = \ell g A,$$

где

$$A = \frac{\sqrt{1 - \rho^2 \sin^2 \theta_{\text{лаб}}}}{(\sqrt{1 - \rho^2 \sin^2 \theta_{\text{лаб}}} + \rho \cos \theta_{\text{лаб}})^2}.$$

Поскольку номограмма строится для случая  $\rho \leq 1$ , то в знаменателе берем только знак плюс. Уравнения элементов номограммы приведены в табл. 3.

Таблица 3

Координаты	Шкала $\sigma_{\text{лаб}}$	Шкала $\sigma_{\text{ЦМ}}$	Шкала A
X	O	$\frac{d}{1 + \frac{\mu_2}{\mu_1}}$	d
Y	$\mu_1 \ell g \sigma_{\text{лаб}}$	$\frac{h}{1 + \frac{\mu_2}{\mu_1}} + \frac{\mu_2}{1 + \frac{\mu_2}{\mu_1}} \ell g \sigma_{\text{ЦМ}}$	$h + \mu_2 \ell g A$

в) Номографирование ур<sub>у</sub> внения (7)

Приводим уравнение (7) к виду формы Коши:

$$(-p_1) \sqrt{\frac{E_1}{E_1 + q_1}} + q_1 \cdot 1 + E_1 = 0. \quad (20)$$

Уравнения элементов тонограммы формы (20) приведены в табл. 4.

Таблица 4

Координаты	Шкала $p_1$	Шкала $q_1$	Шкала $E_1$
$X$	0	$d$	$\frac{d}{1 + \frac{\mu_2}{\mu_1} \sqrt{\frac{E_1}{E_1 + q_1}}}$
$Y$	$-u_1 p_1$	$h + \mu_2 q_1$	$\frac{h - \mu_2 E_1}{1 + \frac{\mu_2}{\mu_1} \sqrt{\frac{E_1}{E_1 + q_1}}}$

Носителем шкалы  $E_1$  служит ветвь гиперболы

$$Y = \frac{h}{d} X - \frac{\mu_1^2}{\mu_2 d} \frac{(d - X)^2}{X}, \quad (21)$$

которой соответствуют положительные значения  $\sqrt{E_1}$  (согласно законам сохранения импульса величин  $\sqrt{E_1}$  пропорциональна скорости частиц 1; следовательно, отрицательные значения  $\sqrt{E_1}$  физического смысла не имеют). Если проецируемую шкалу  $E_1$  расположить на прямой  $X = d$ , то ее уравнение примет вид:

$$Y = h - \mu_2 E_1.$$

Эта шкала совпадает со шкалой  $\varphi_1$  и отличается от нее только знаком пометок. Таким образом, шкала  $E_1$  образуется проецированием на гиперболу (21) отрицательной части шкалы  $\varphi_1$ .

В заключение проиллюстрируем на конкретном примере порядок компоновки и расчёта номограммы формы Коши.

1) Выбираем следующие пределы изменения переменных  $r_1$  и  $\varphi_1$ :

$$-1 \leq r_1 \leq 1 \quad -110 \leq \varphi_1 \leq -85.$$

2) Задаёмся высотой номограммы, равной 250 мм.

3) Вычисляем модули шкал  $r_1$  и  $\varphi_1$ :

$$\mu_1 = \frac{250}{r_{1\max} - r_{1\min}} = 125 \text{ мм}; \quad \mu_2 = \frac{250}{\varphi_{1\max} - \varphi_{1\min}} = 10 \text{ мм}.$$

Модуль шкалы  $r_1$  получился равным 125 мм, что неудобно для ее построения. Полагаем  $\mu_1 = 100$  мм. Это позволяет, не изменяя длины шкалы, расширить пределы изменения  $r_1$  от  $-1,25$  до  $+1,25$ .

4) Потребуем, чтобы середины шкал  $r_1$  и  $\varphi_1$  находились на одном уровне:

$$\mu_1 + 0 = h = \mu_2 \frac{110 + 85}{2}.$$

Отсюда определяем  $h$ :

$$h = 97,5 \text{ мм.}$$

5) Вычисляем  $E_{1\min}$  и  $E_{1\max}$ :

$$E_{1\min} = 74,3 \text{ Мэв} \quad E_{1\max} = 124 \text{ Мэв.}$$

6) Полагаем расстояние между шкалами  $r_1$  и  $\varphi_1$   $d = 150$  мм и вычисляем координаты носителя шкалы  $E_1$  для ряда значений  $E$  (см. табл.5).

Таблица 5

$E_1$	Мэв	X мм	Y мм	$E_1$	Мэв	X	Y мм
74		80,6	126,3	100		75,0	-12,5
75		80,4	120,6	105		74,1	-37,0
80		79,2	92,4	110		73,2	-61,0
85		78,0	65,0	115		72,4	-84,5
90		77,0	38,5	120		71,7	-107,0
95		76,0	12,7	125		70,8	-129,8

7) Строим шкалы  $p_1$  и  $q_1$ ; по посчитанным координатам вычерчиваем носитель шкалы  $q_1$  и путем проецирования на него шкалы  $q_1$ , строим шкалу  $E_1$ . Для этого предварительно шкалу  $q_1$  строим в пределах от -74 до -125.

8) После окончания всех построений убираем лишние части шкалы  $q_1$ , оставляя только ту ее часть, которая лежит в заданных предварительно пределах от -110 до -85; снимаем с номограммы кальку и фотографируем ее. Все построения удобно вести на миллиметровой бумаге.

Пользуясь случаем, автор выражает самую искреннюю признательность Г.Н.Флерову и В.Е. Волкову за предоставленную возможность выполнить данную работу в Лаборатории ядерных реакций Объединенного института ядерных исследований, за постоянный интерес к работе и содействие при издании настоящего препримта.

#### Л и т е р а т у р а

1. А.М.Балдин, Е.И.Гольданский, И.Л.Розенталь. Кинематика ядерных реакций; Физматгиз, М., 1959.
2. Н.А.Глаголев. Курс номографии. Изд. "Высшая школа", М., 1961.
3. Б.А.Невский. Справочная книга по номографии. Гостехтеориздат, М.-Л., 1951.
4. Г.С.Хованский. Методы номографирования. Изд. ВЦ АН СССР, М., 1964.
5. Г.Н.Потетюнко. Атомная энергия", 16, 349, 1964.
6. Г.Н.Потетюнко. "Номограмма для системы двух уравнений типа Коши с общей криволинейной шкалой". В кн. "Номографический сборник №4". Изд. ВЦ АН СССР, М., 1967.
7. Р.И.Новобранова. "Труды Новочеркасского политехнического института", 173, 1967, стр. 97-106.

Рукопись поступила в издательский отдел  
18 октября 1968 года.

ПРИЛОЖЕНИЕ

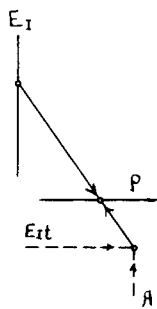
НОМОГРАММЫ  
для определения  
параметра  $\beta$

$$\beta = \sqrt{\frac{A \cdot E_I}{E_I + E_{It}}}$$

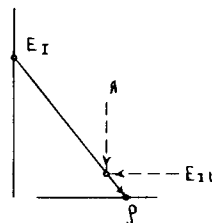
$$A_1 = \frac{m_1 m_1}{m_2 m_2} ; \quad A_2 = \frac{m_2 m_2}{m_1 m_1}$$

$$E_{It} = Q \cdot B ; \quad B = 1 + \frac{m_1}{m_2}$$

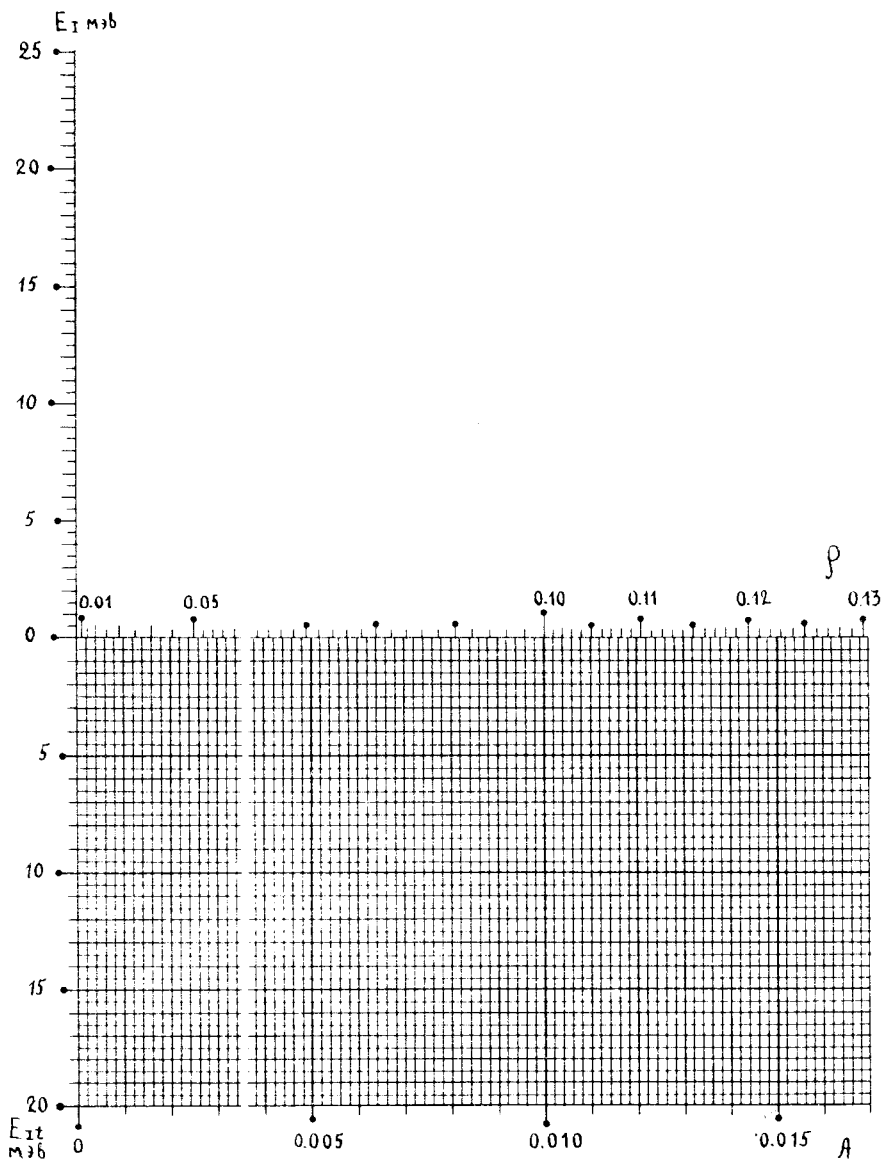
схемы пользования

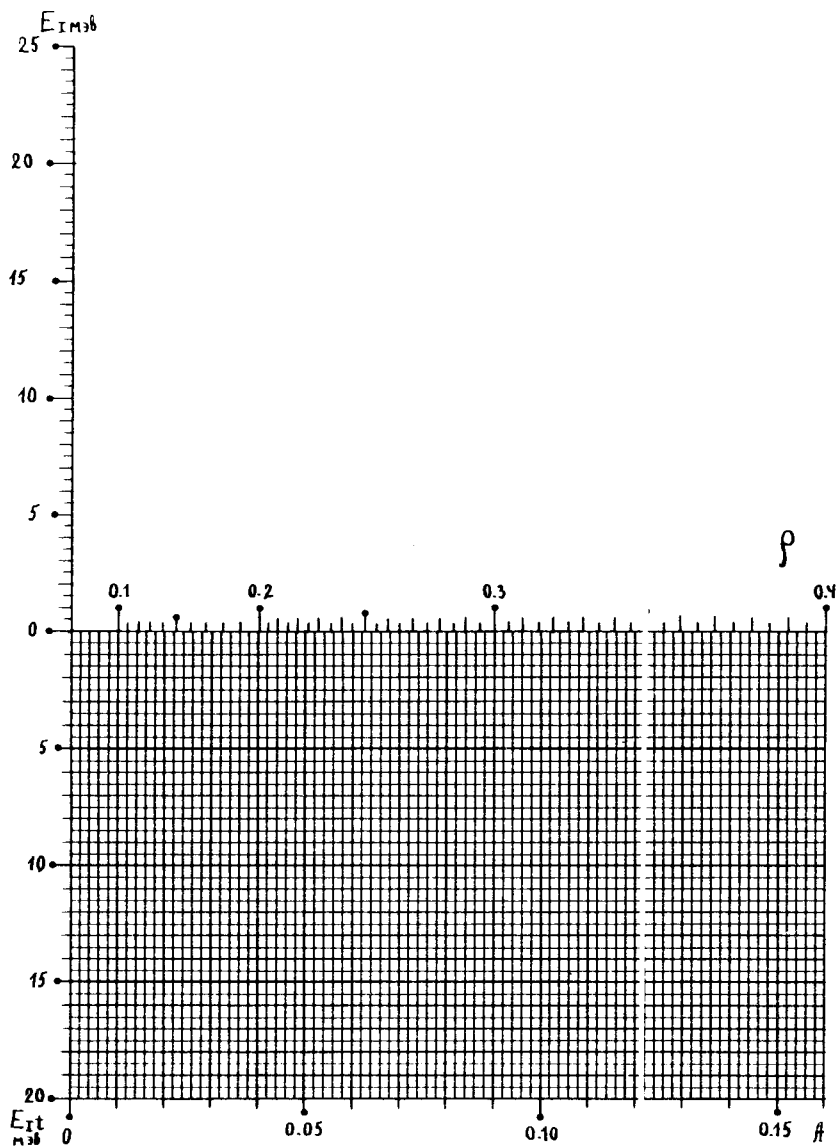


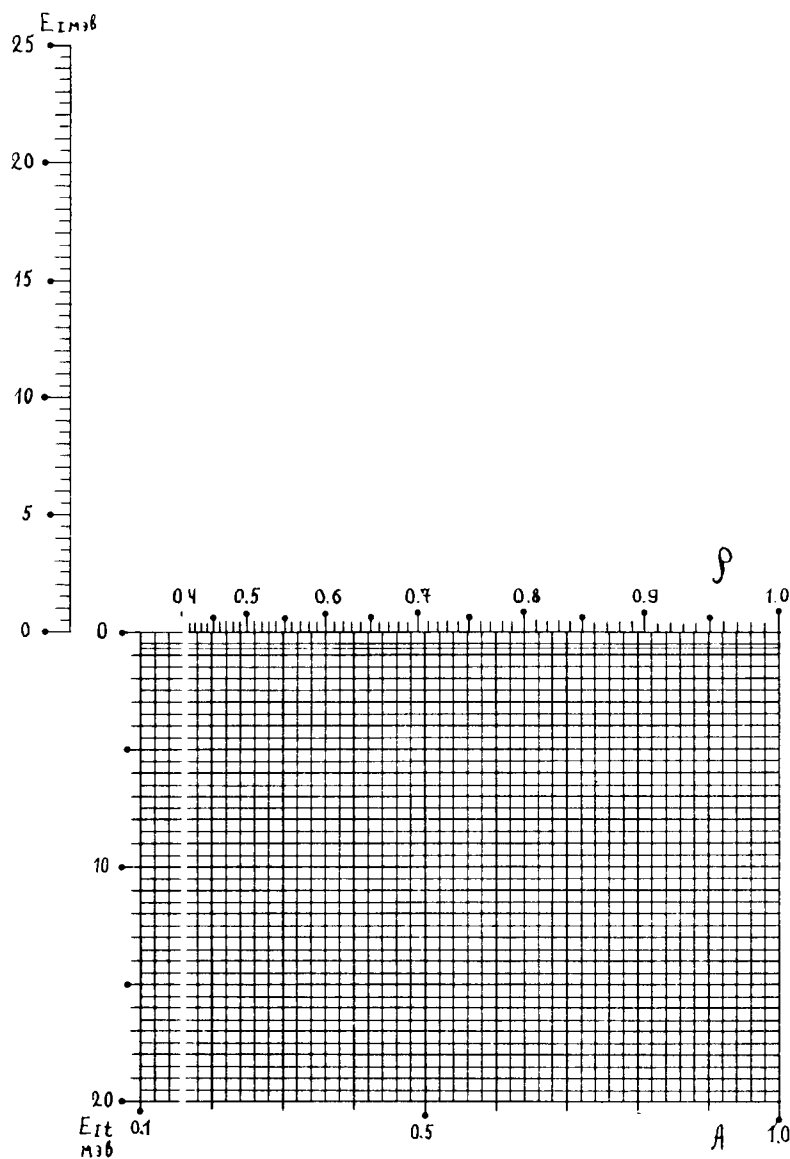
$$E_{It} > 0$$

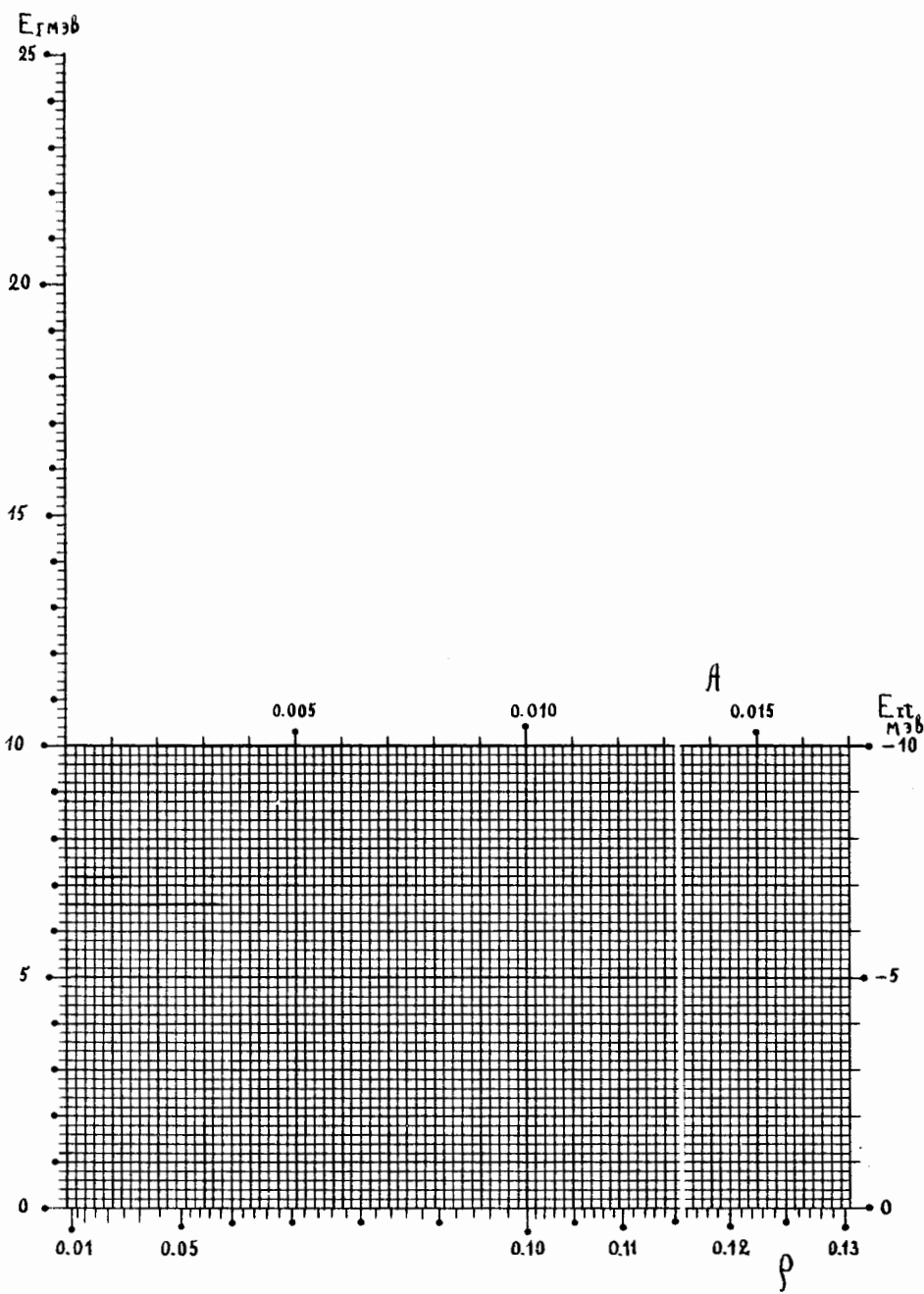


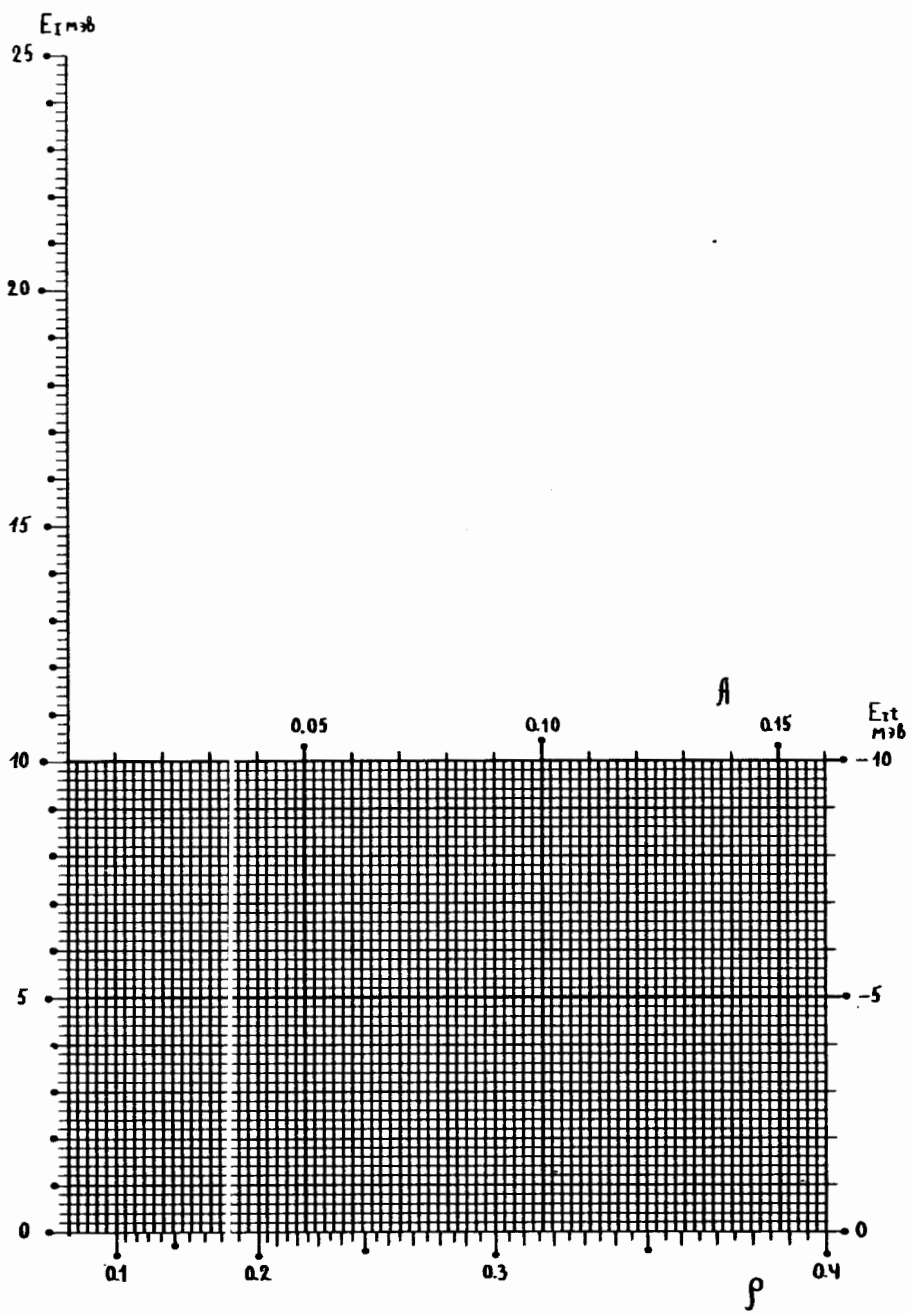
$$E_{It} < 0$$

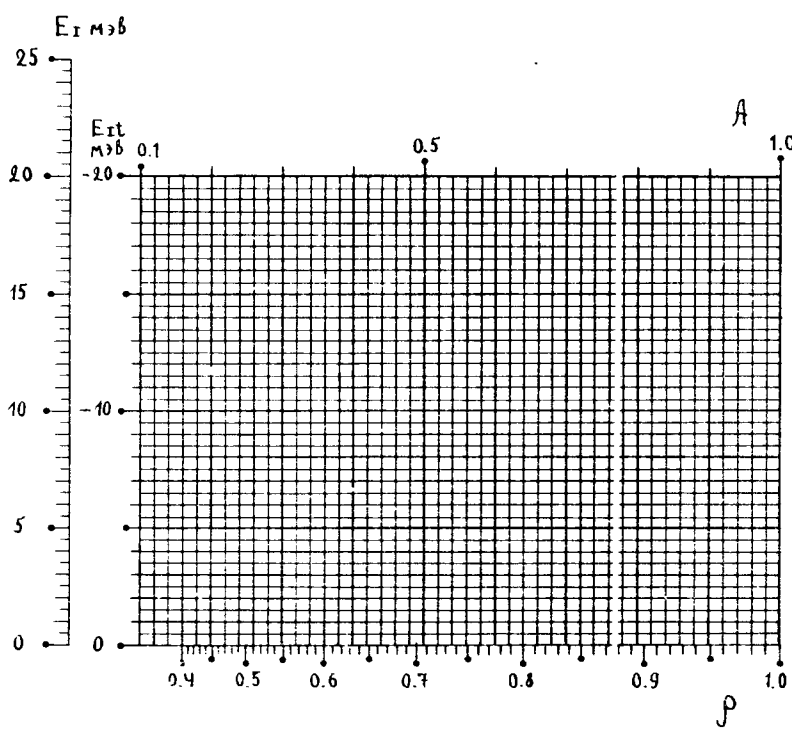


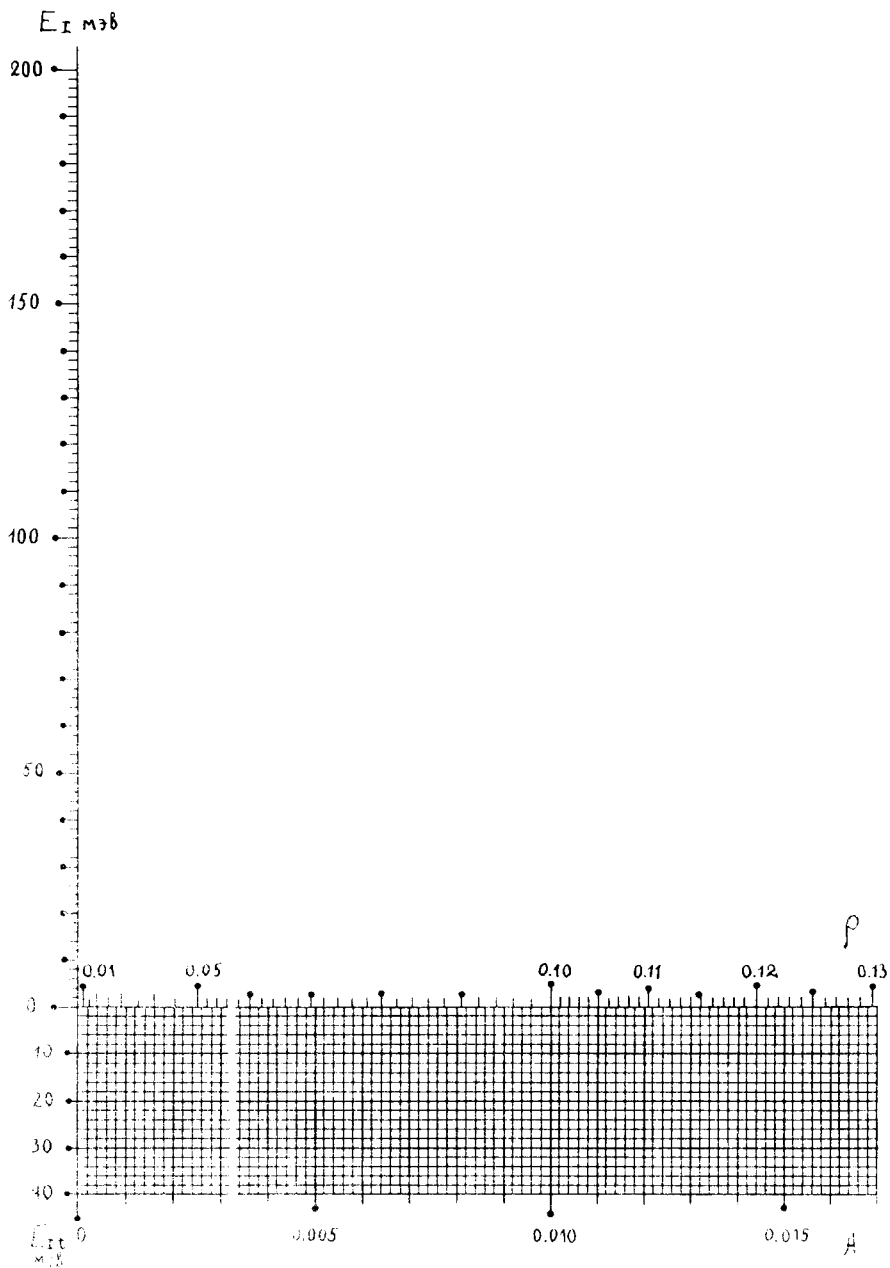


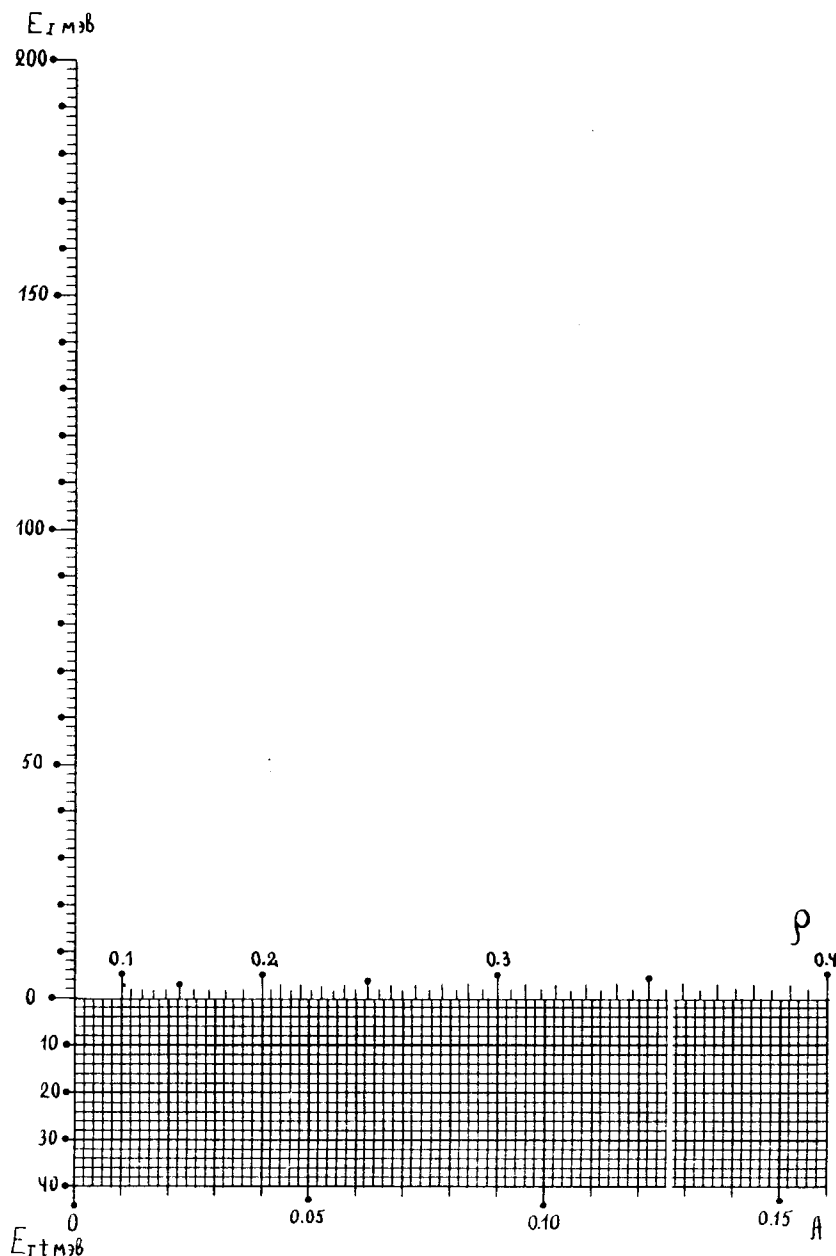


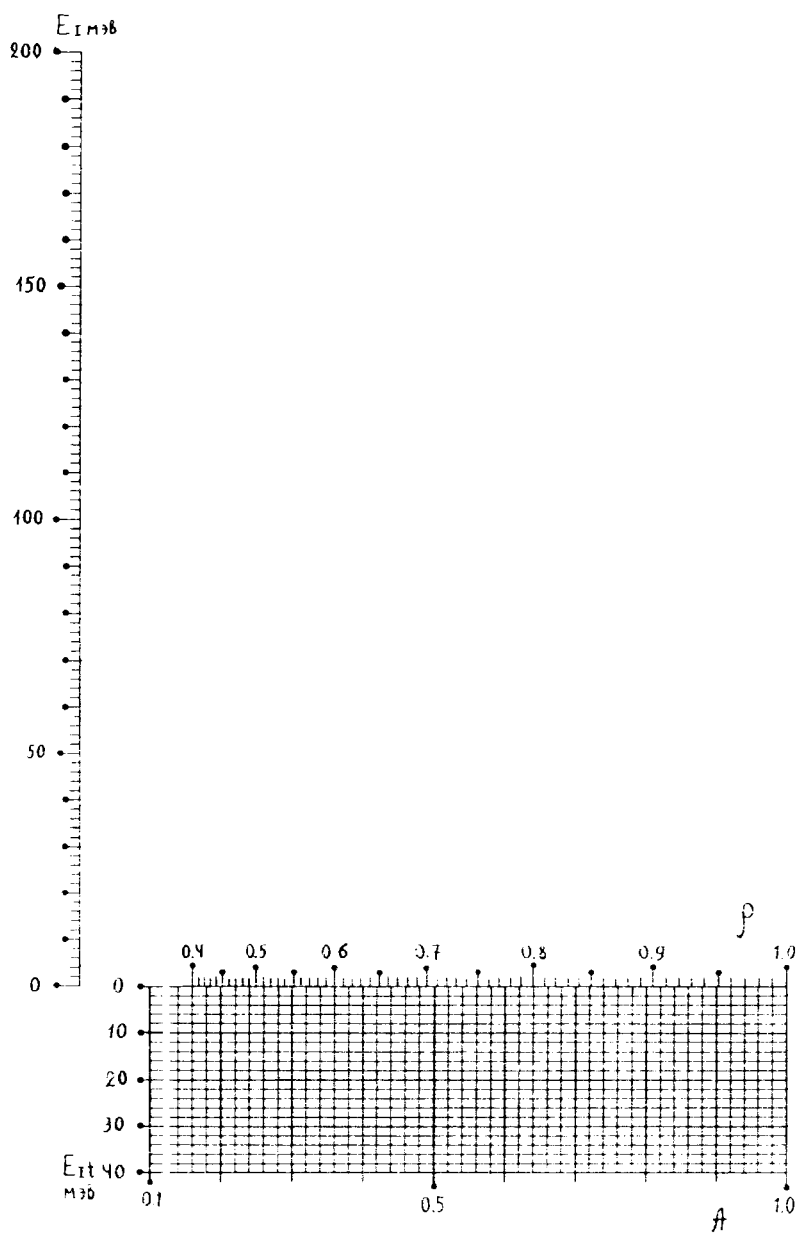


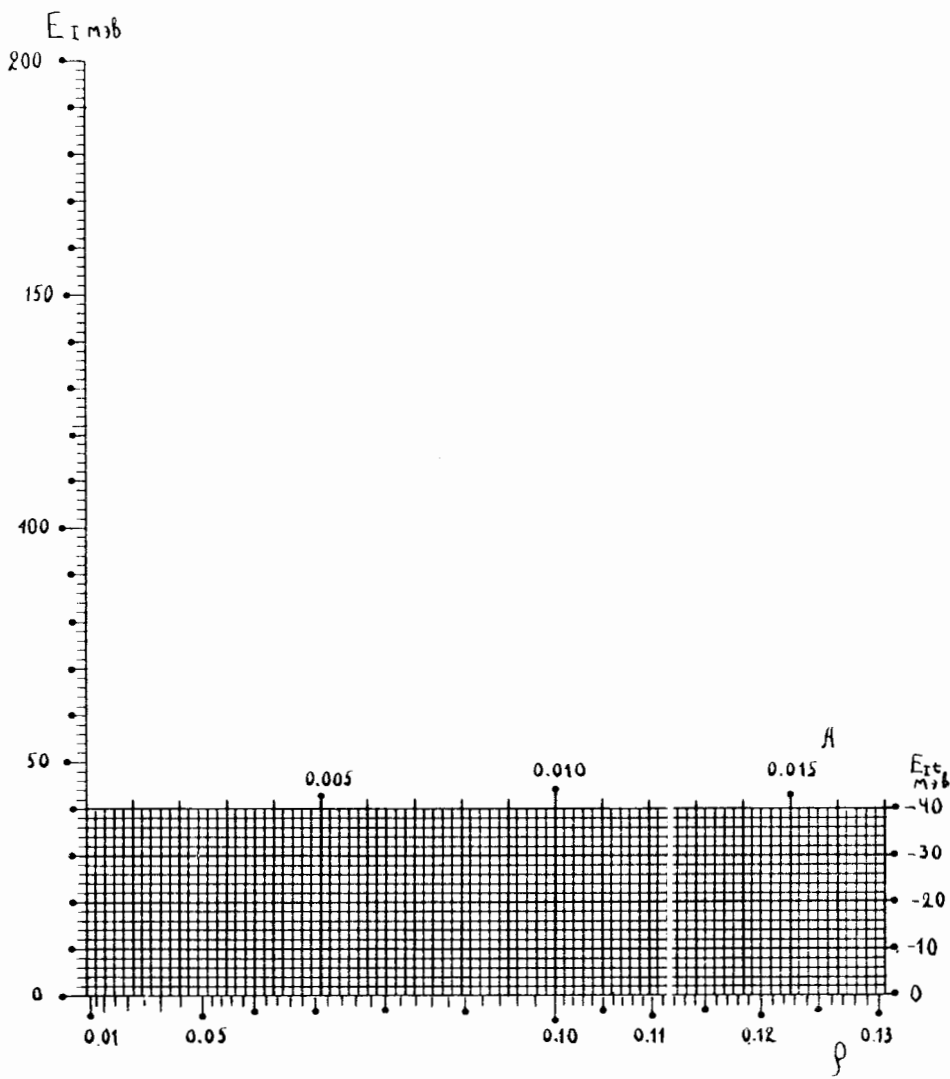


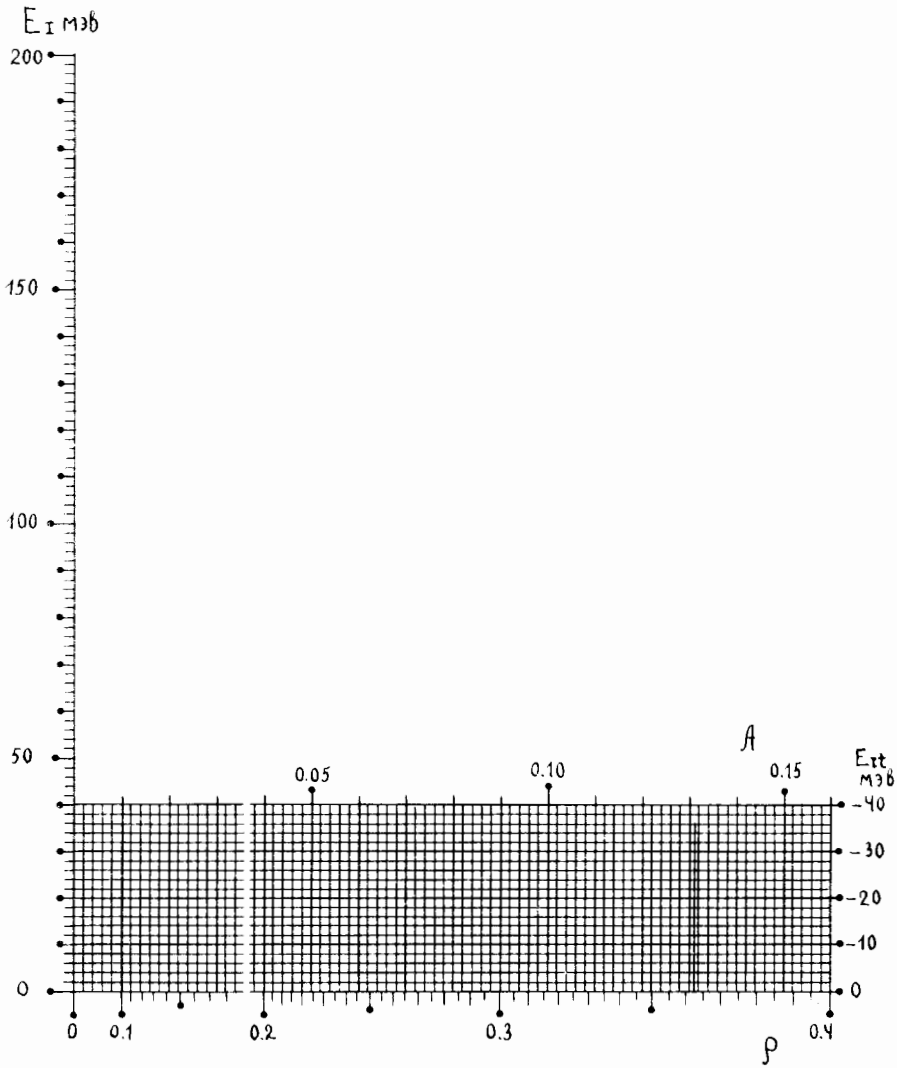


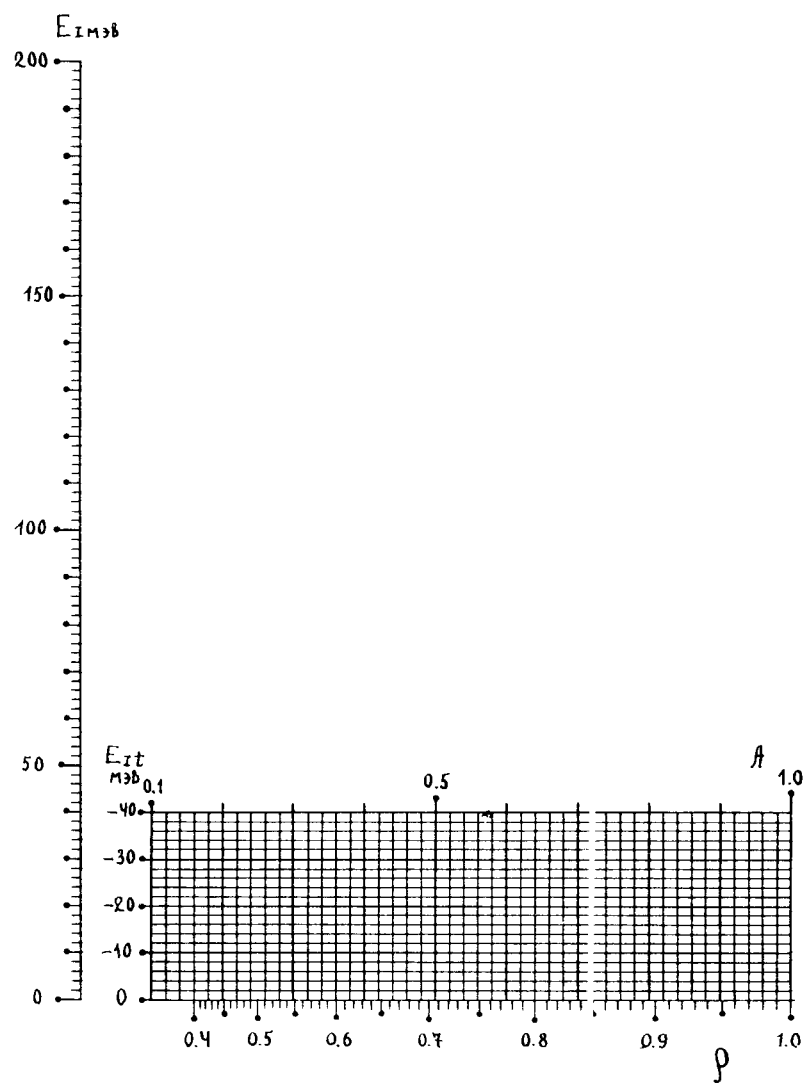


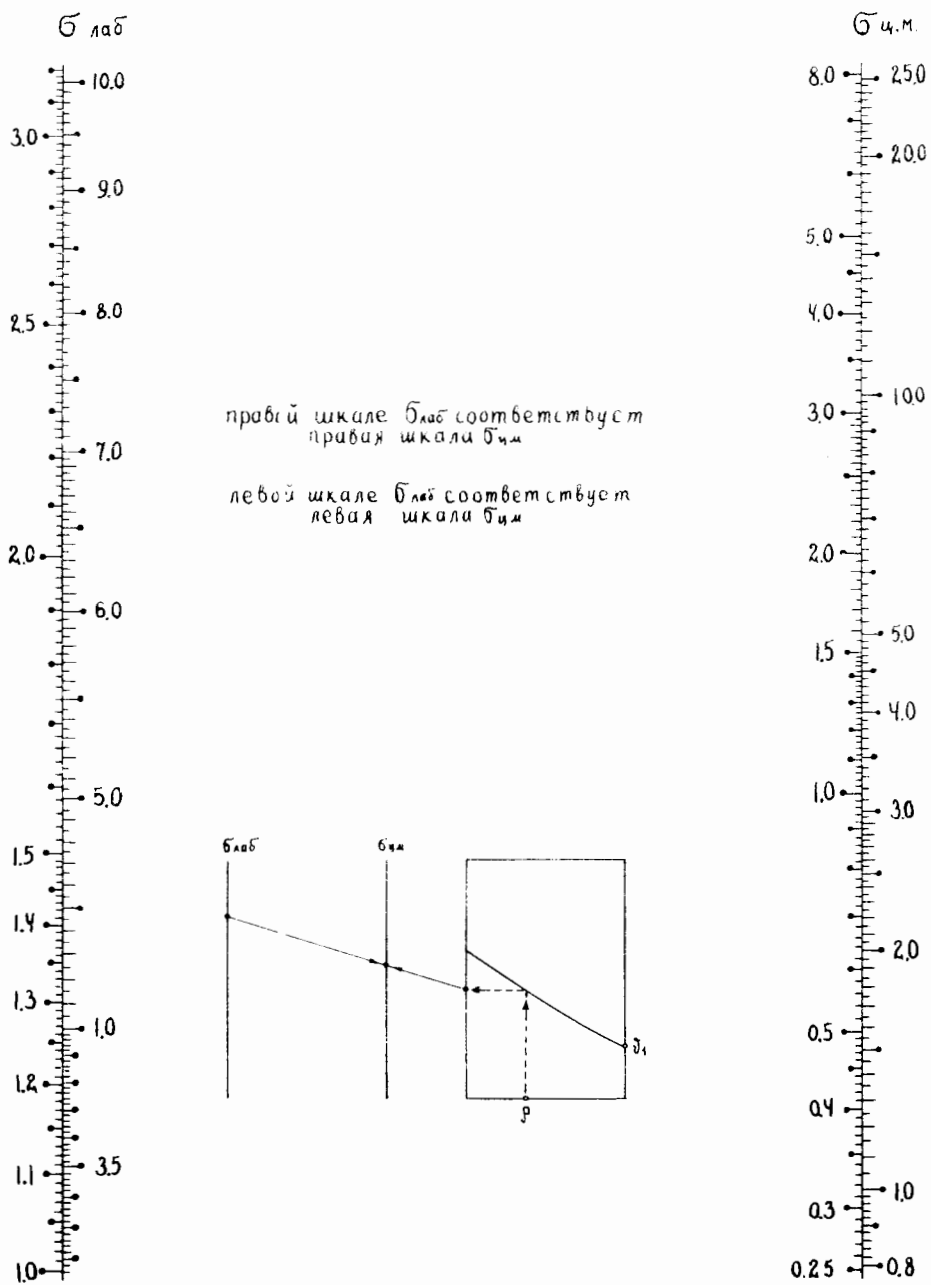


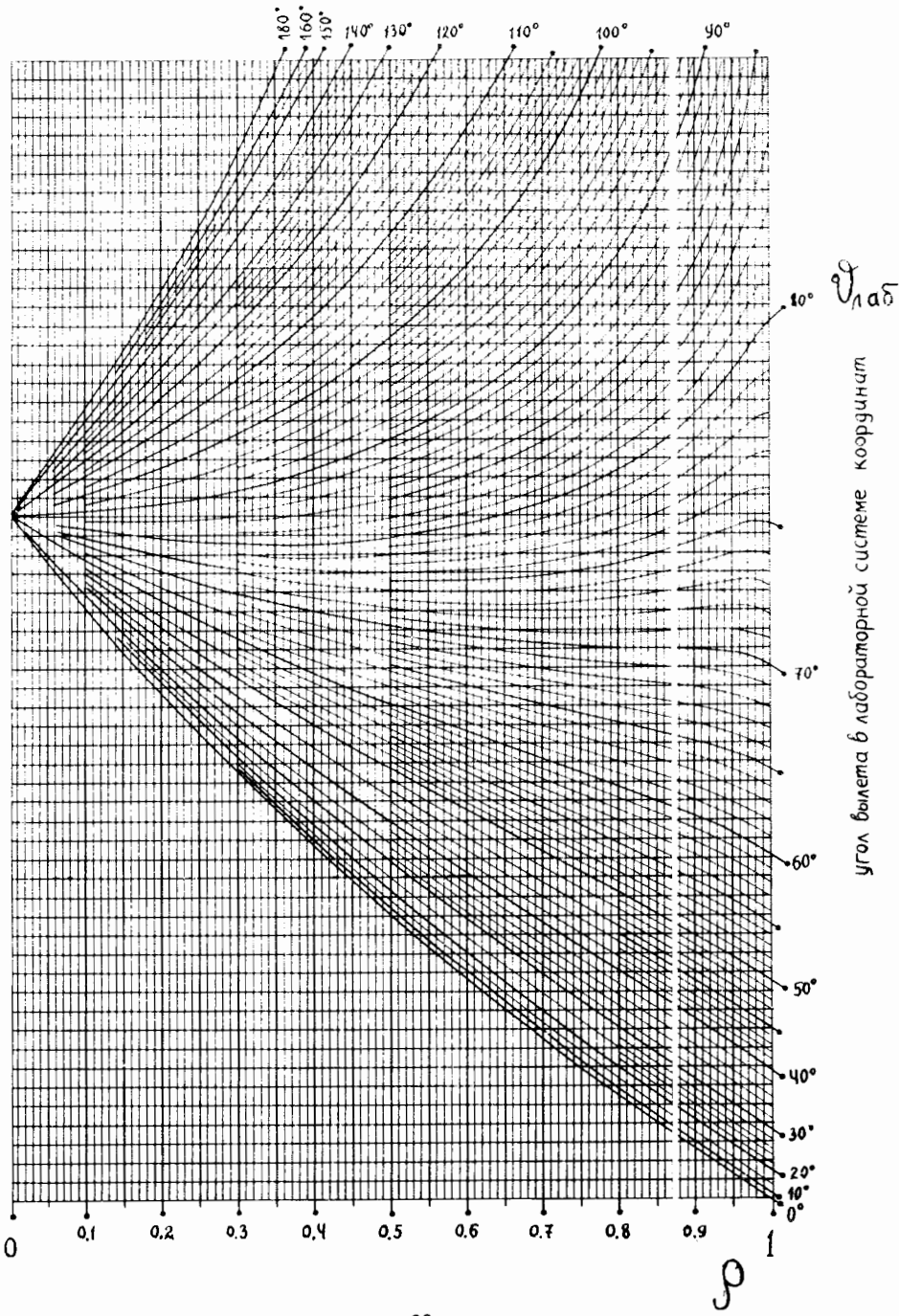








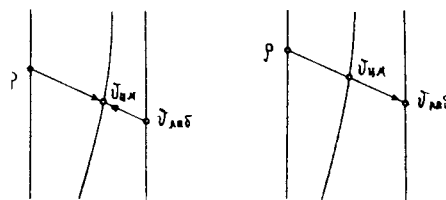


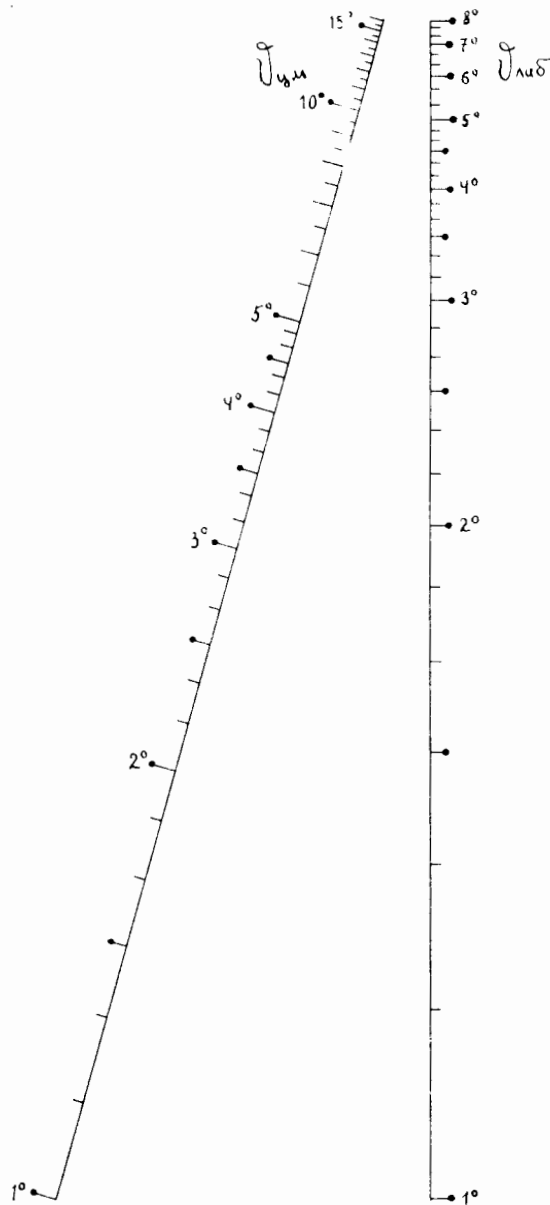
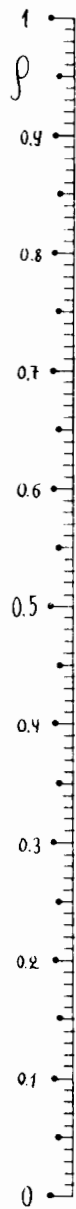


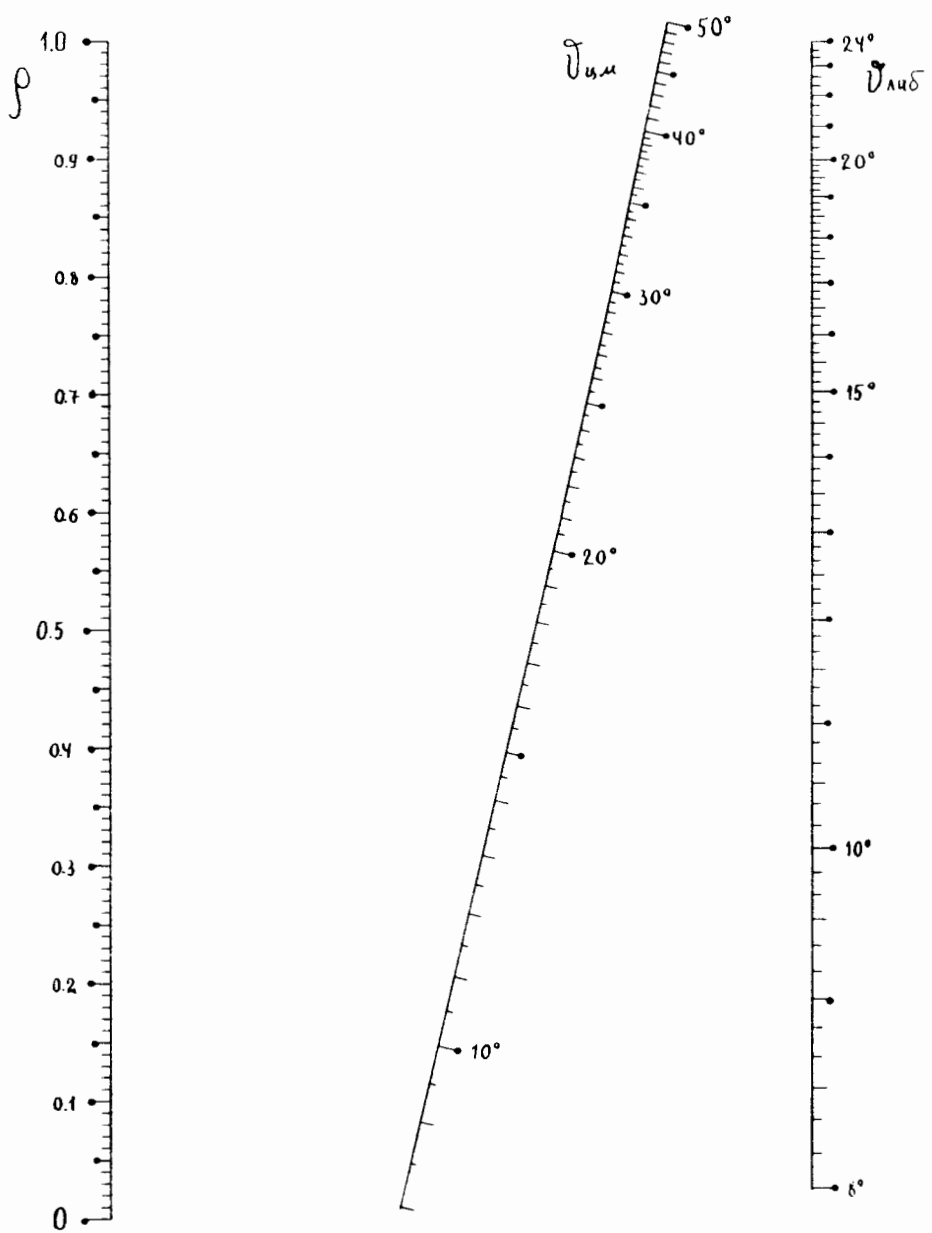
НОМОГРАММЫ  
 для определения  
 $\bar{U}_{\text{чм}}$  по известным  $\rho$  и  $\bar{U}_{\text{раб}}$   
 и  $\bar{U}_{\text{раб}}$  по известным  $\rho$  и  $\bar{U}_{\text{чм}}$

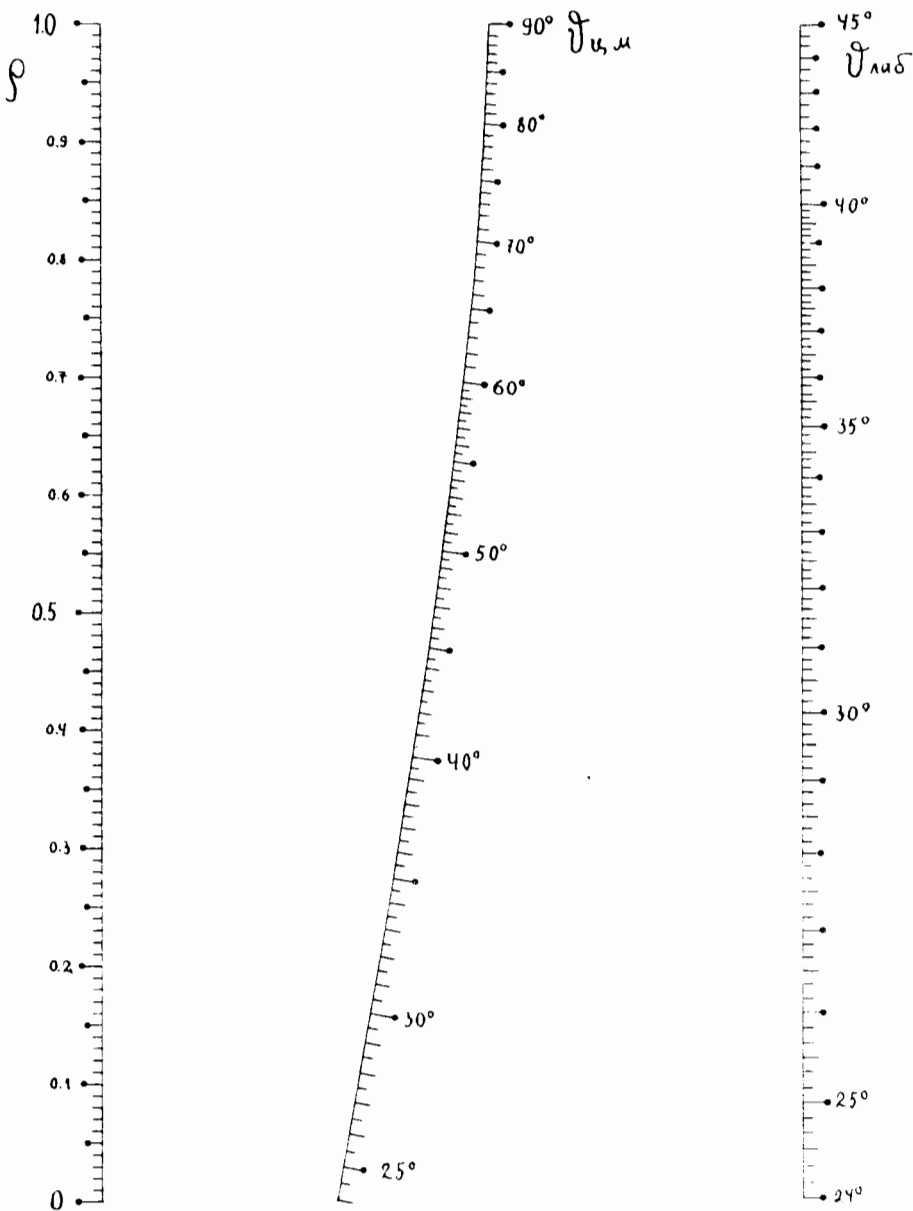
$$\operatorname{ctg} \bar{U}_{\text{раб}} = \frac{\rho + \cos \bar{U}_{\text{чм}}}{\sin \bar{U}_{\text{чм}}}$$

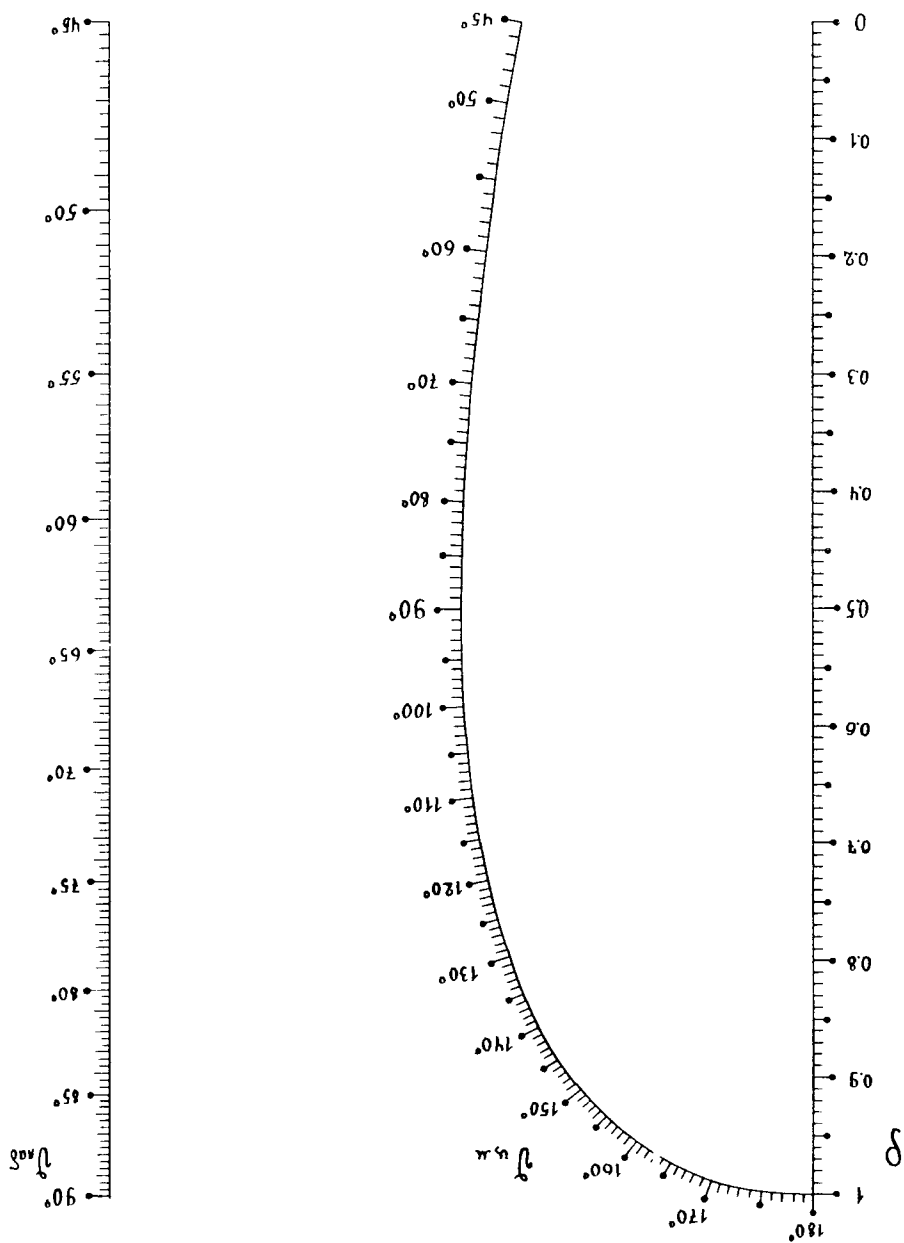
схемы пользования

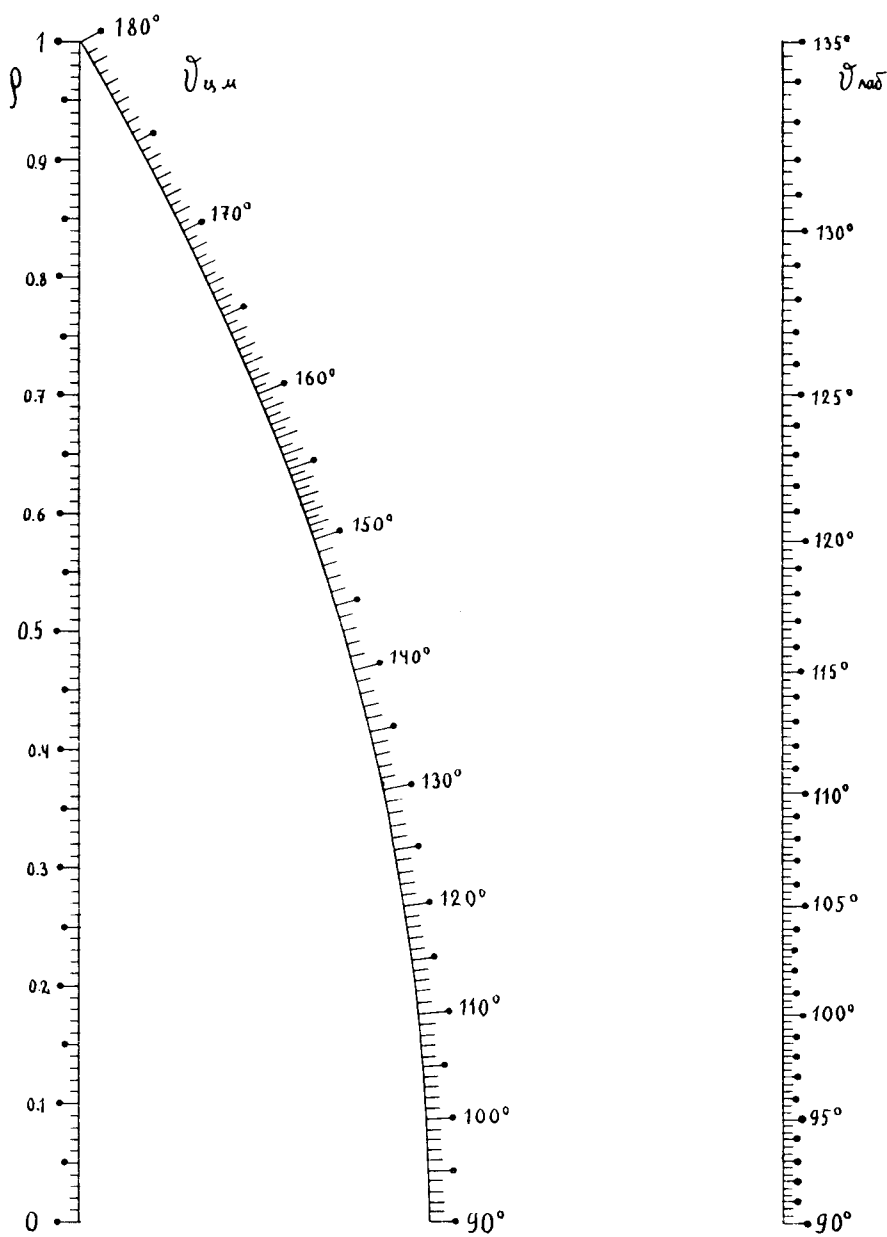


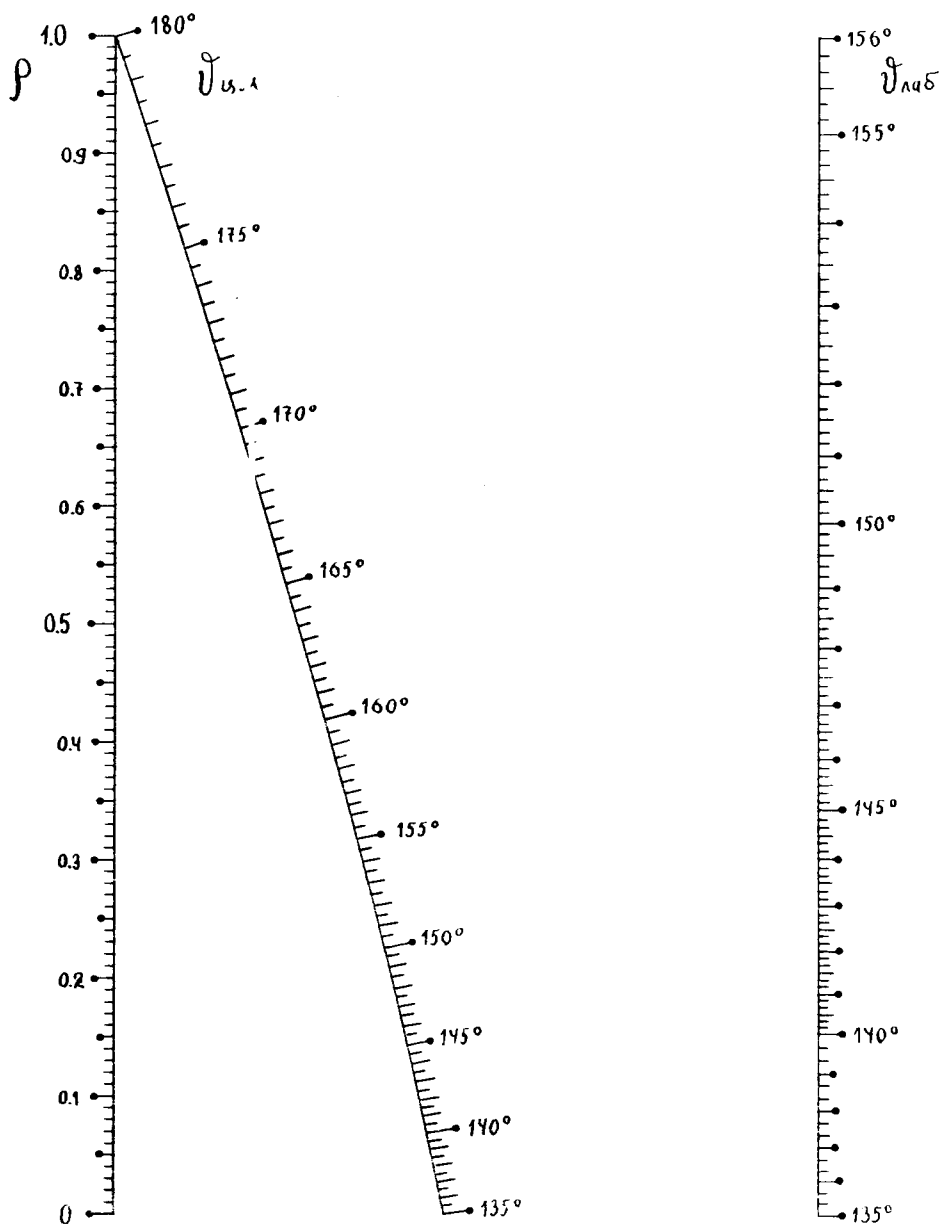


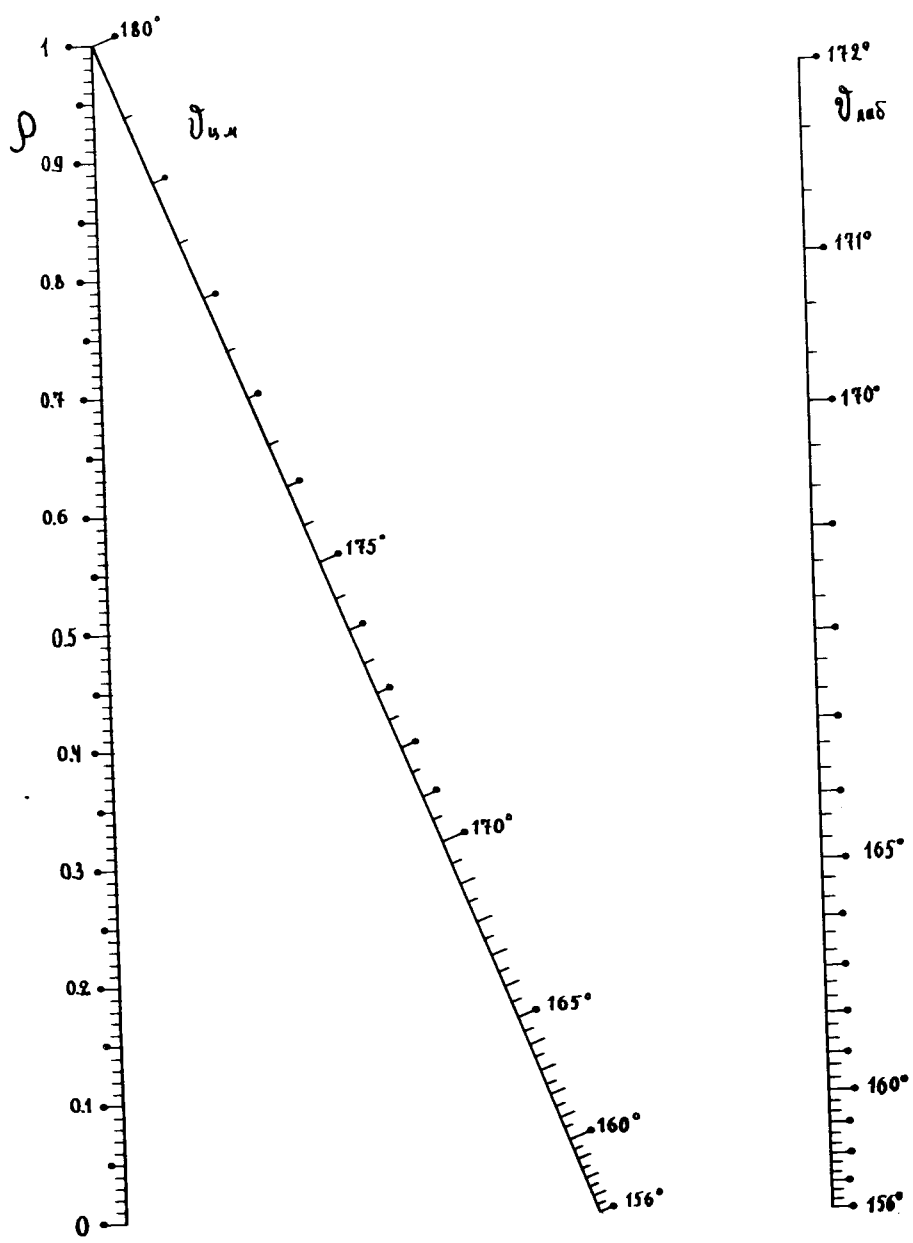












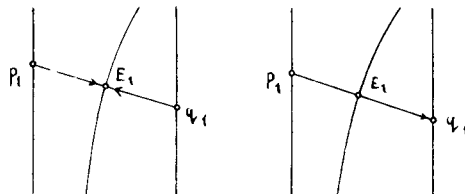
НОМОГРАММЫ  
 для определения  
 энергии  $E_1$  выпетающей частицы  
 при известном  $Q$  реакции  
 и  $Q$  реакции при известной энергии  $E_1$

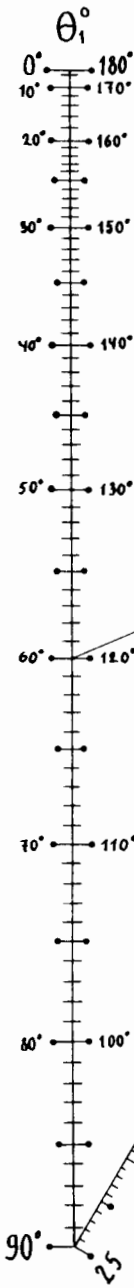
$$E_1 - p_1 \sqrt{E_1} + q_1 = 0$$

$$p_1 = 2 \frac{\sqrt{m_2 m_1}}{M} \sqrt{E_1} \cos \vartheta_1$$

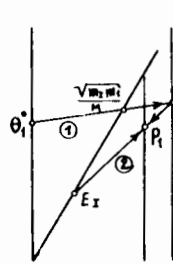
$$q_1 = -\frac{1}{M} [m_2 Q + (m_2 - m_1) E_1]$$

схемы пользования





$$P_1 = 2 \frac{\sqrt{m_1 m_2}}{M} \sqrt{E_1} \cos \theta_1$$



$$\frac{\sqrt{m_1 m_2}}{M}$$

при  $\theta_1 < 90^\circ$   $P_1 > 0$   
при  $\theta_1 > 90^\circ$   $P_1 < 0$

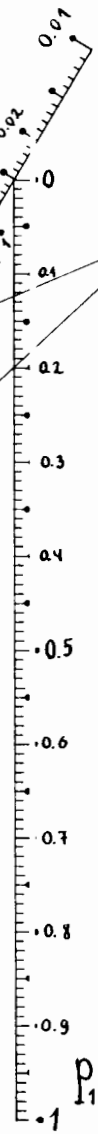
пример

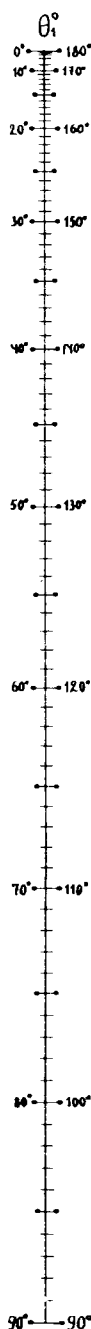
$$\text{дано } \frac{\sqrt{m_1 m_2}}{M} = 0.05$$

$$\theta_1 = 60^\circ$$

$$E_1 = 16 \text{ мэв}$$

$$\text{находим } P_1 = 0.2$$

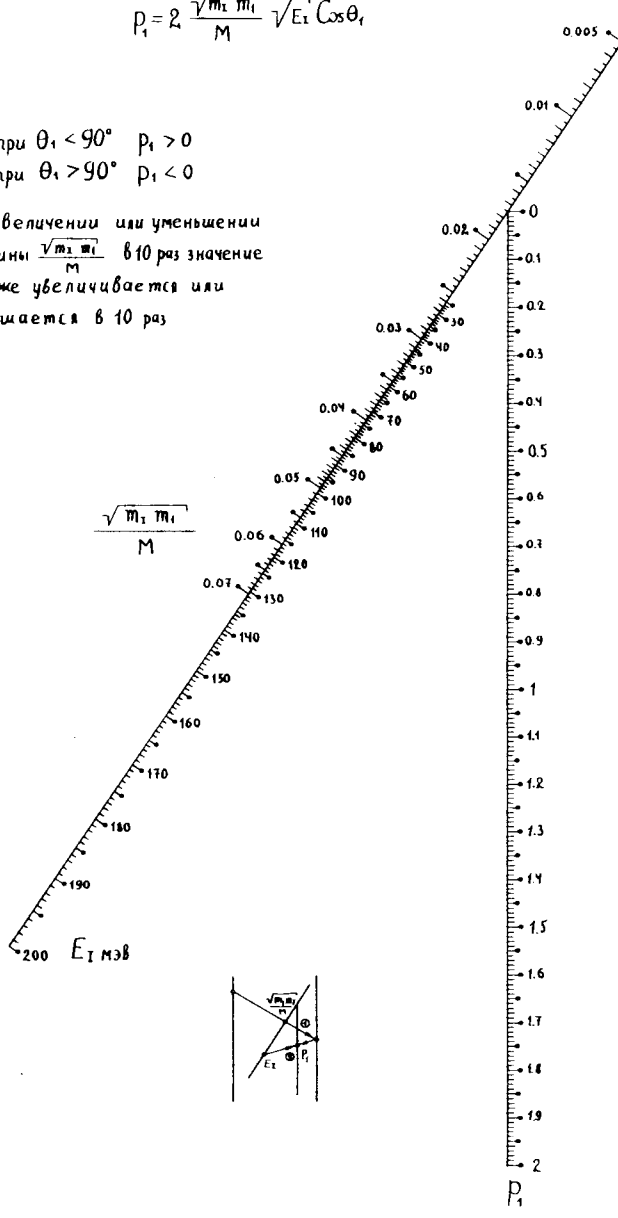


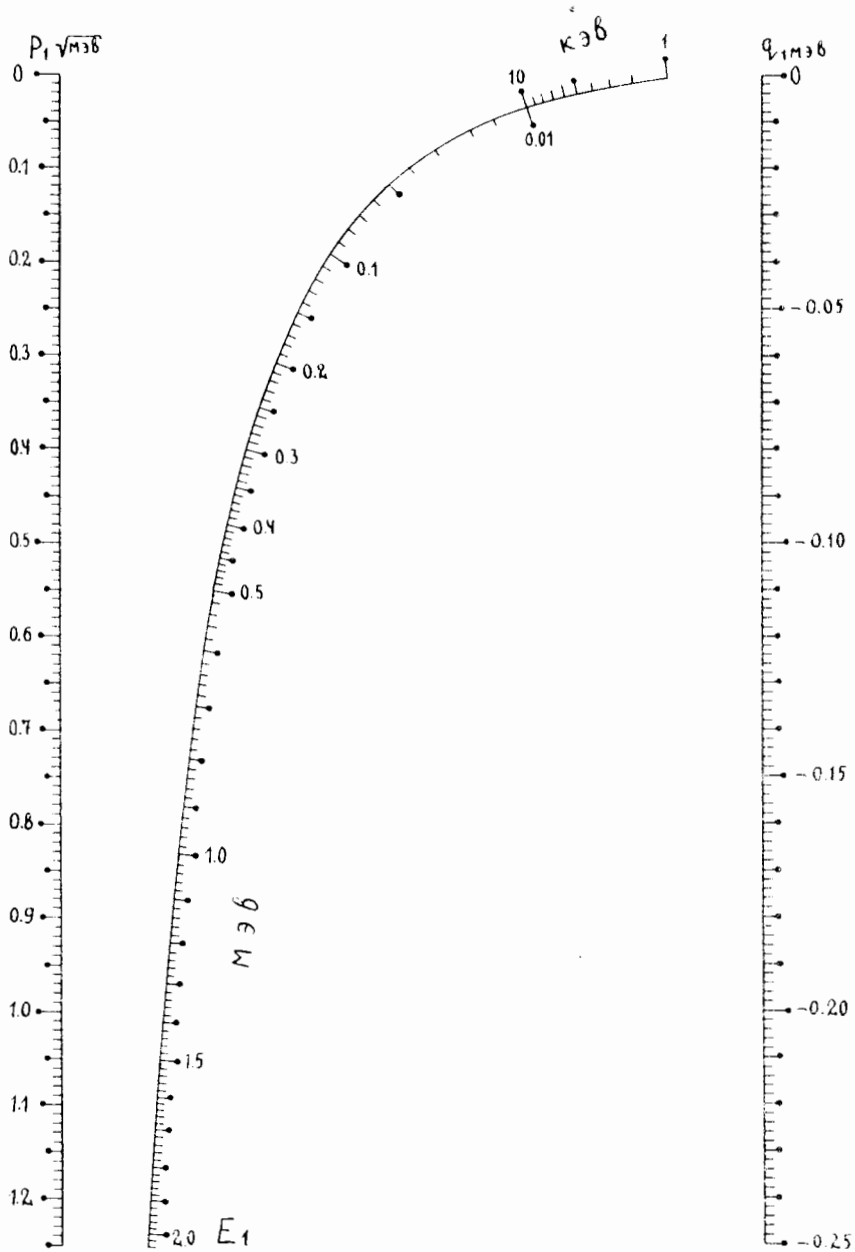


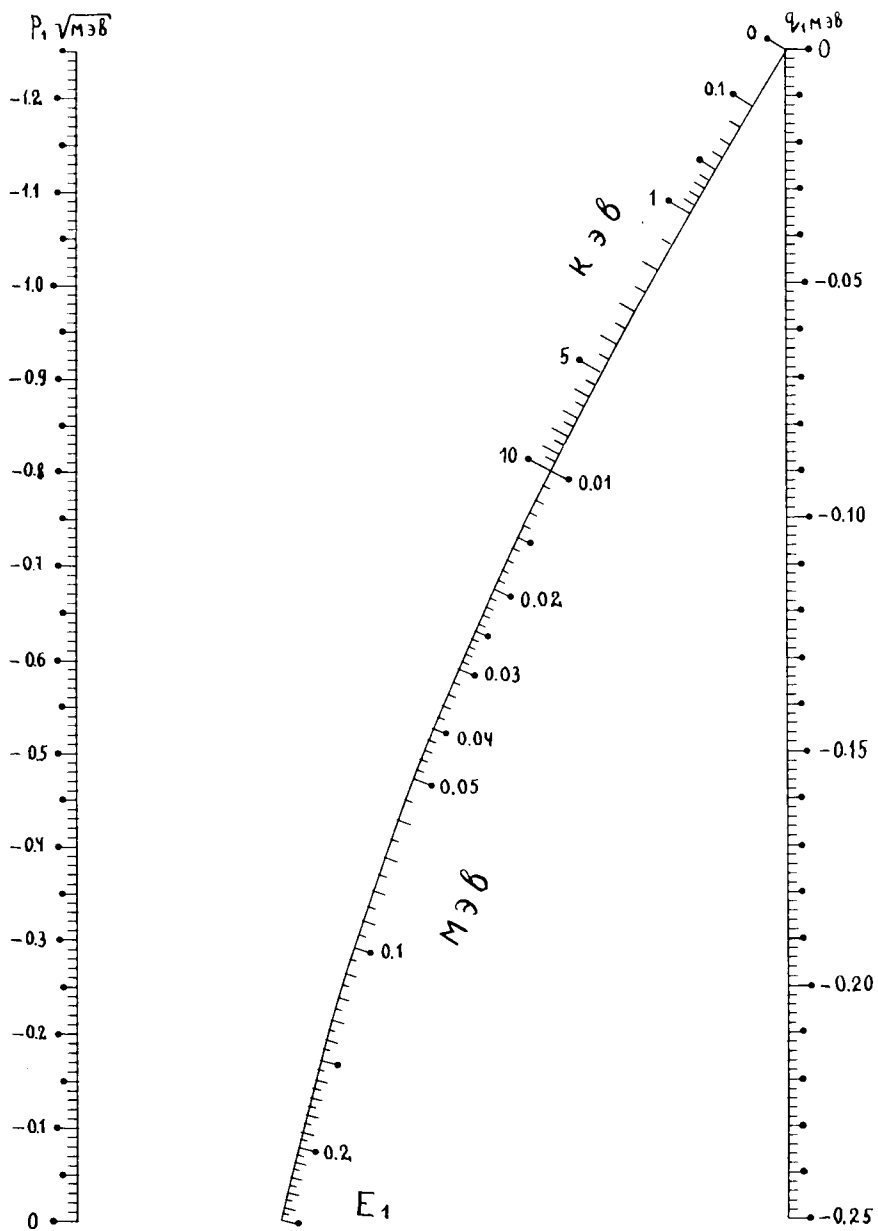
$$P_1 = 2 \frac{\sqrt{m_1 m_1}}{M} \sqrt{E_1} \cos \theta_1$$

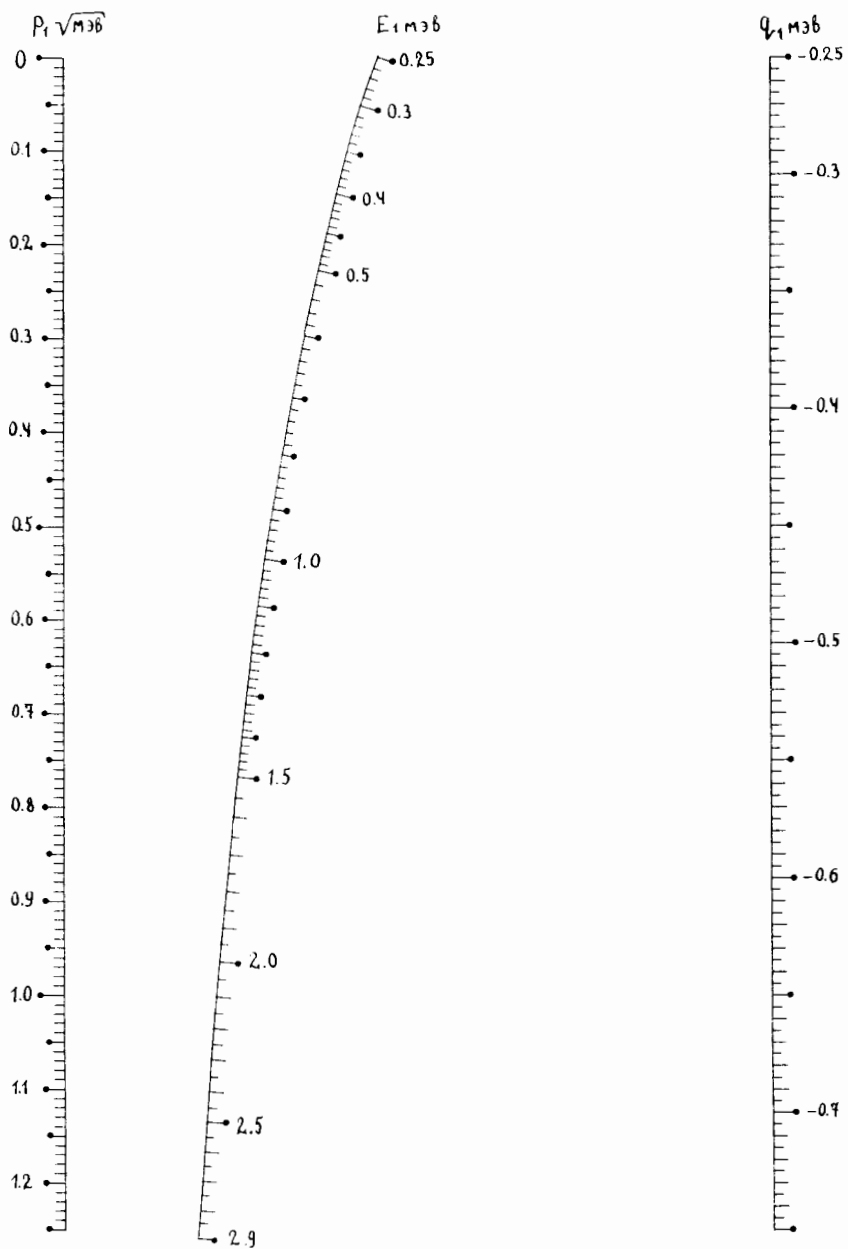
при  $\theta_1 < 90^\circ$   $P_1 > 0$   
при  $\theta_1 > 90^\circ$   $P_1 < 0$

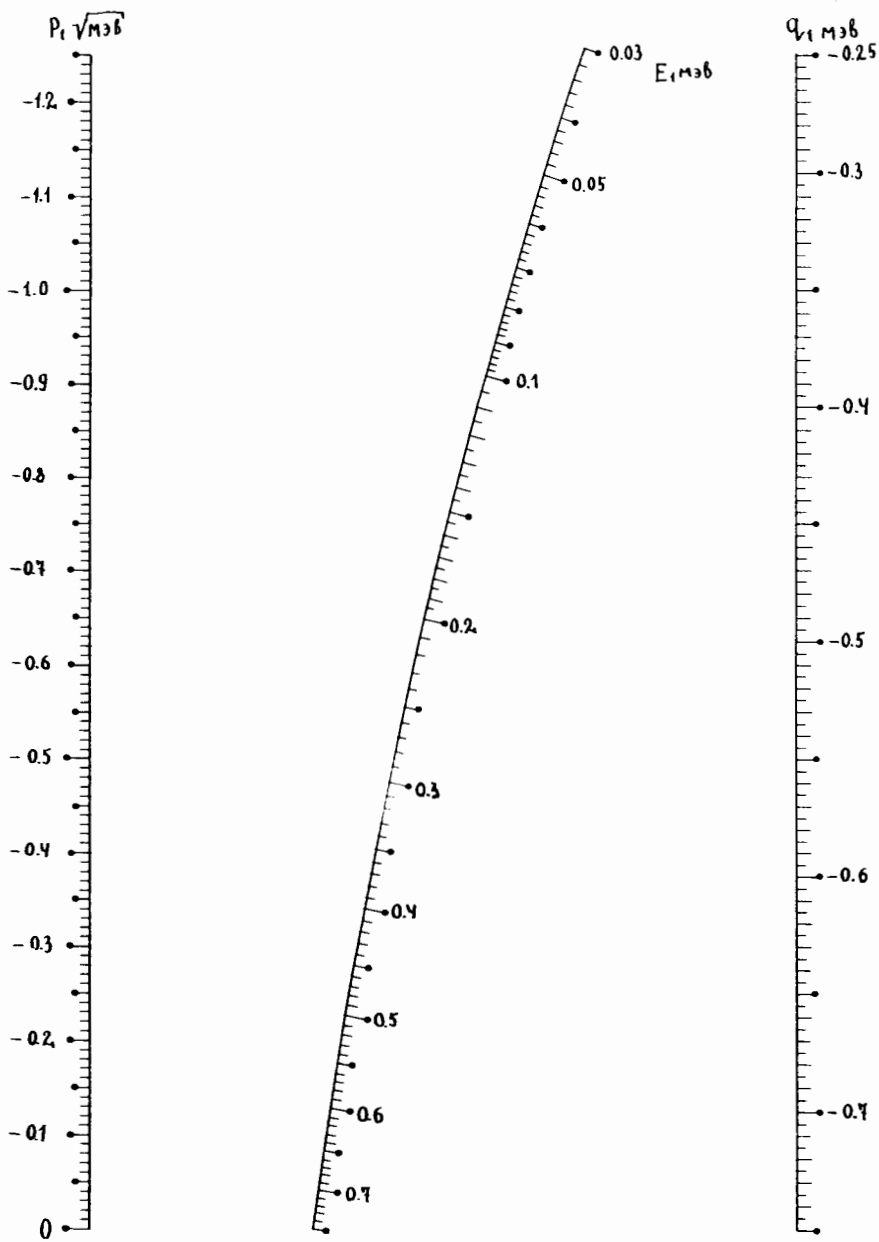
при увеличении или уменьшении величины  $\frac{\sqrt{m_1 m_1}}{M}$  в 10 раз значение  $P_1$  также увеличивается или уменьшается в 10 раз

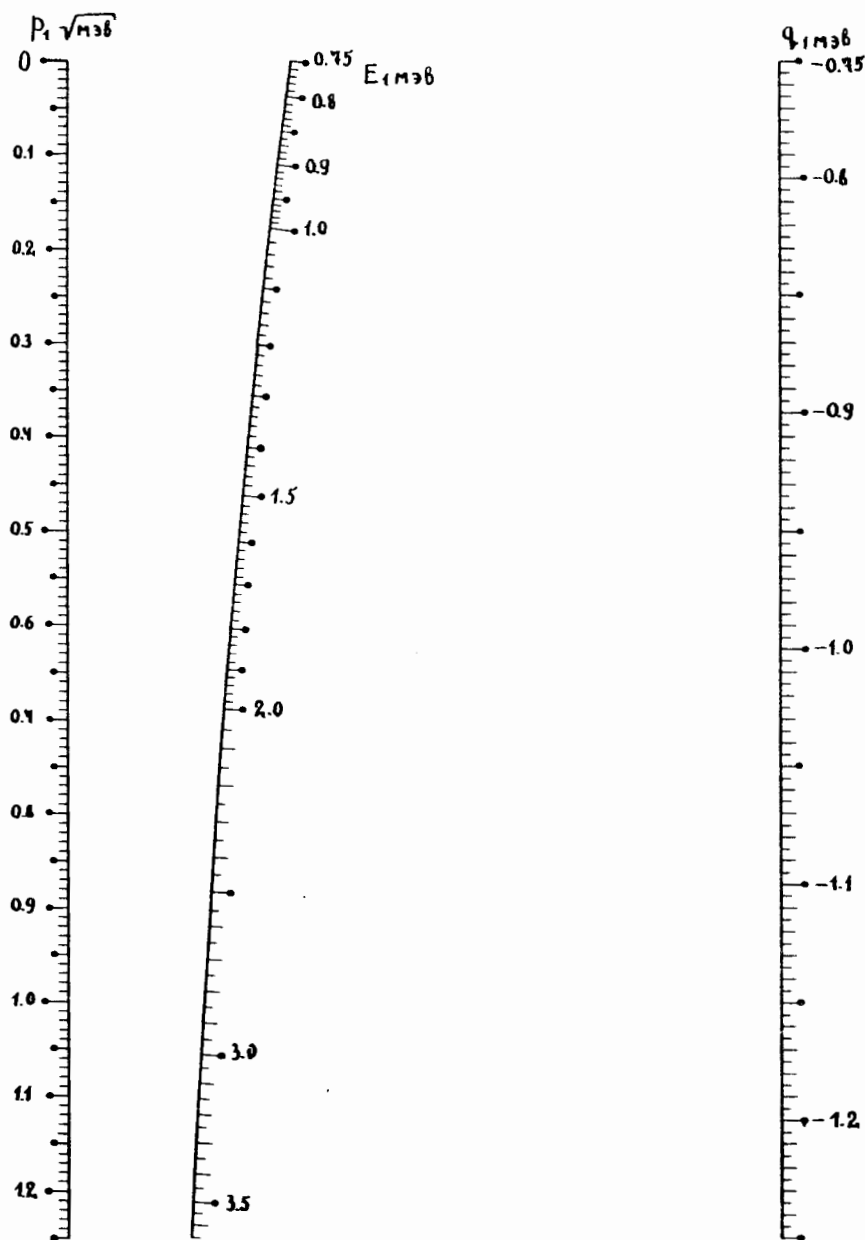


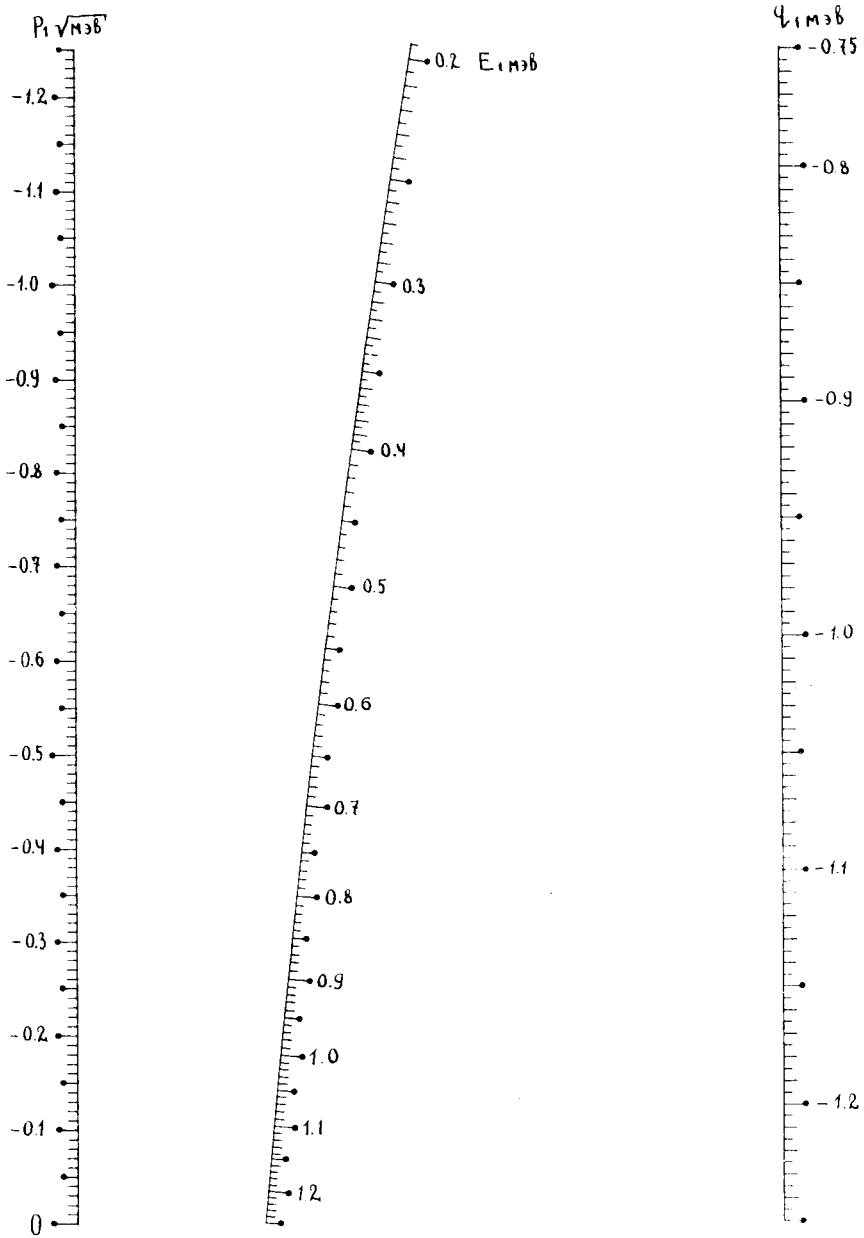


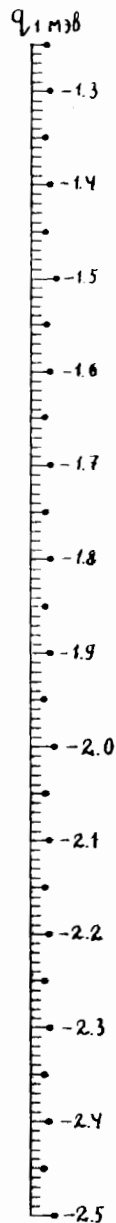
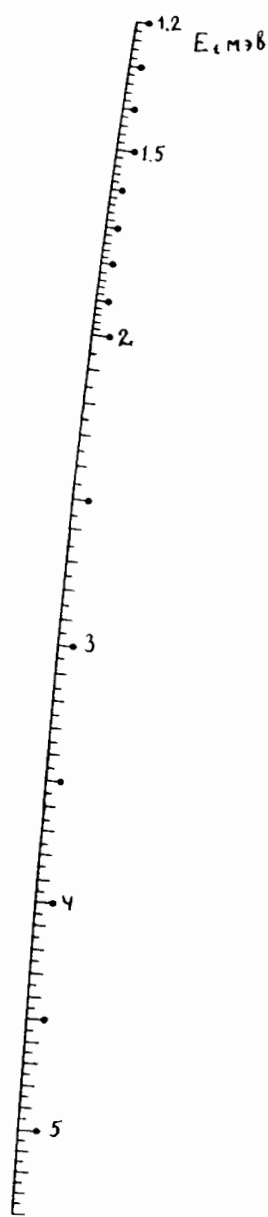
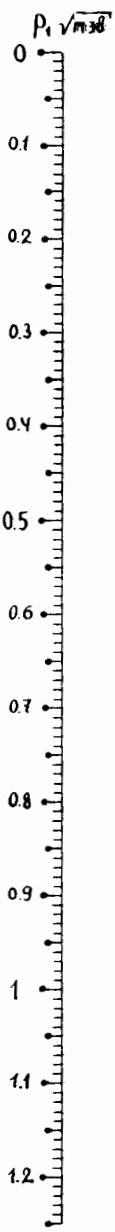


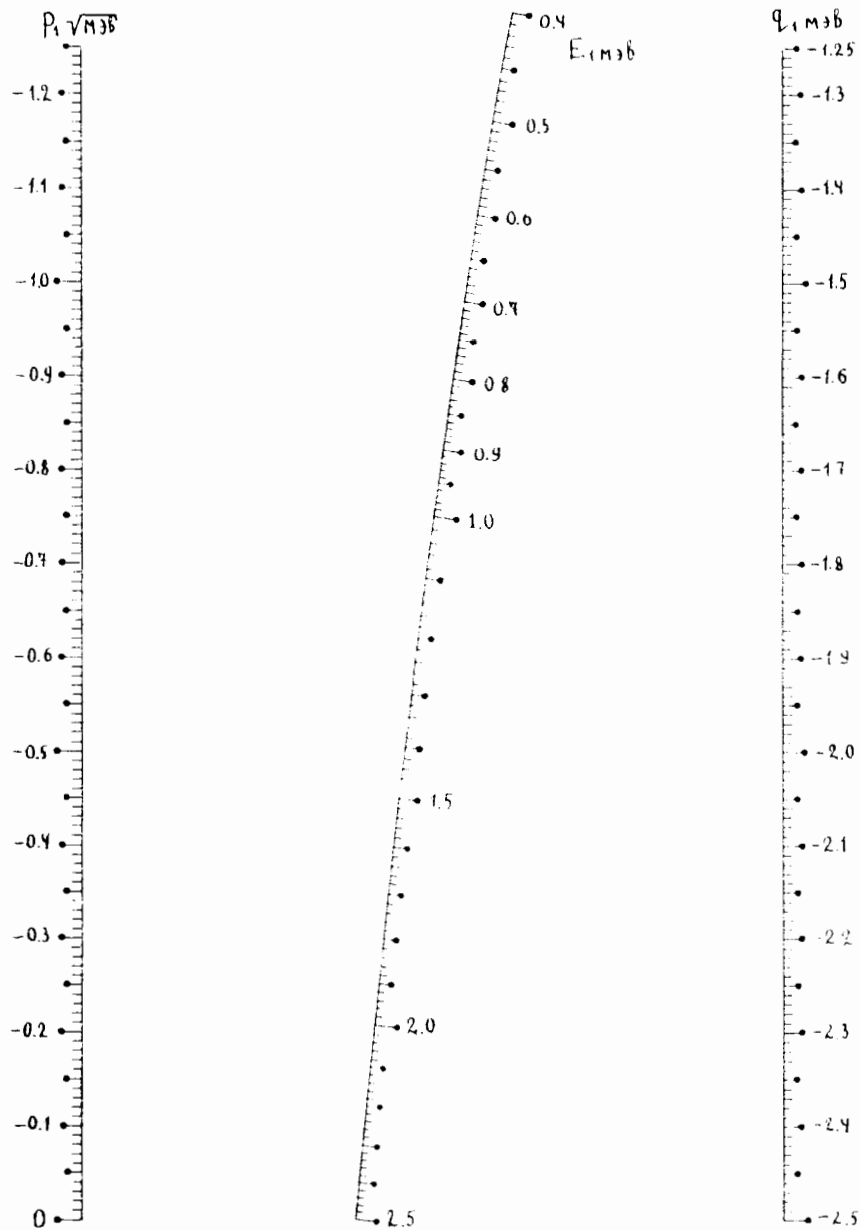


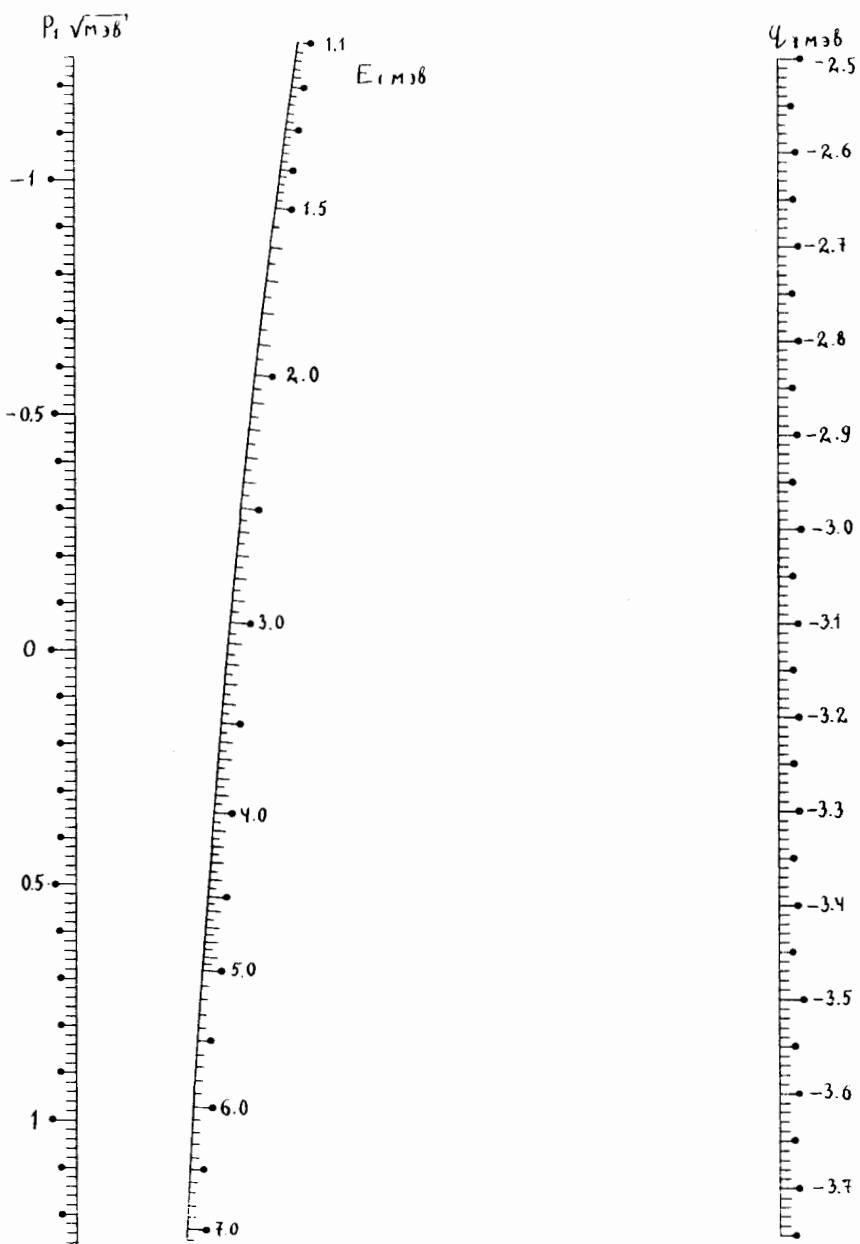


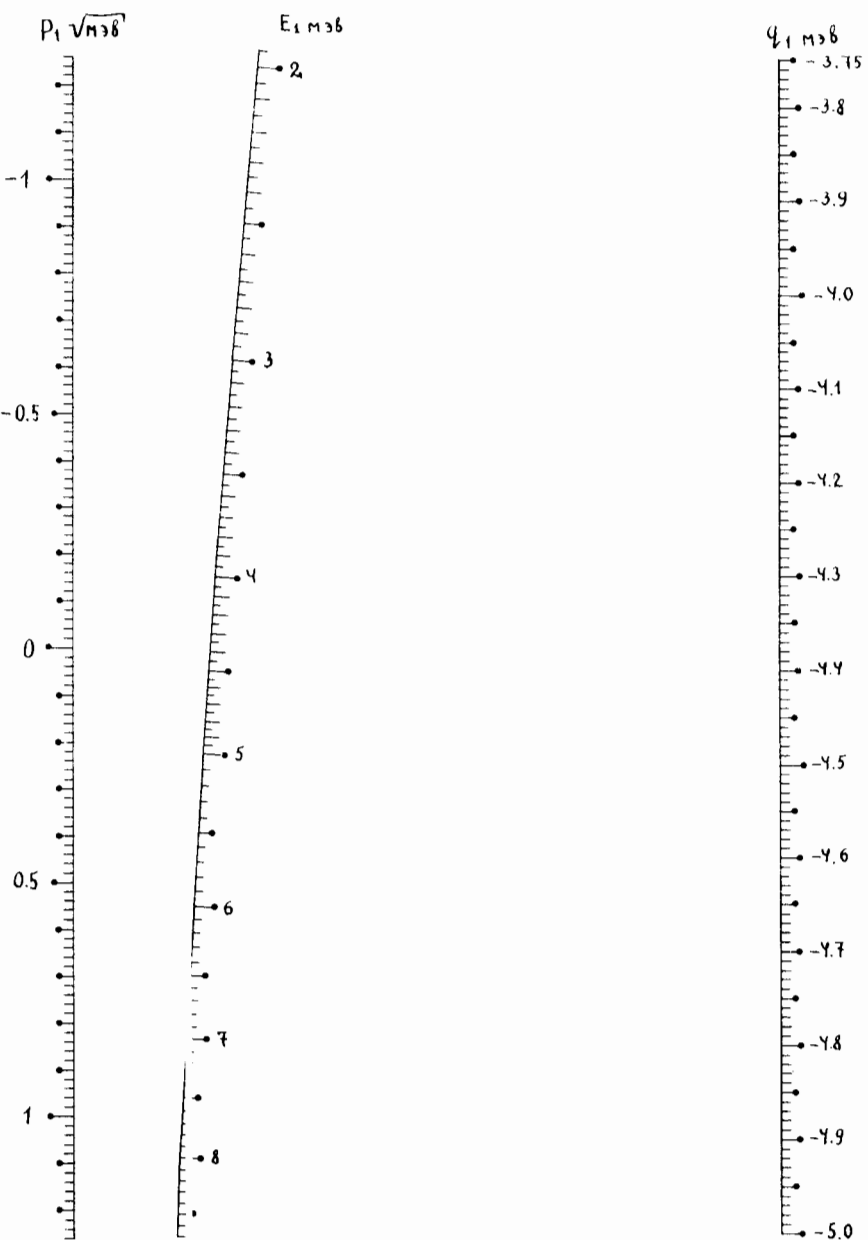


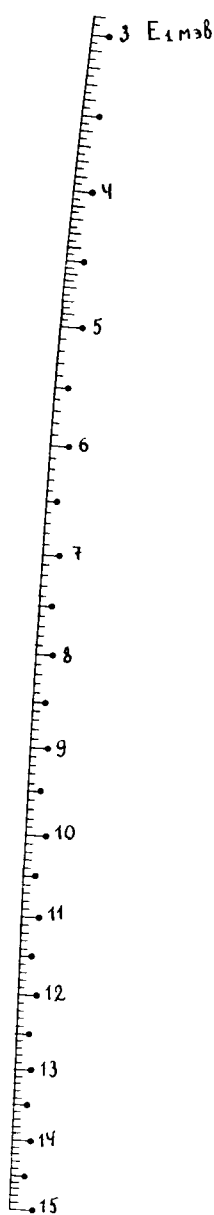
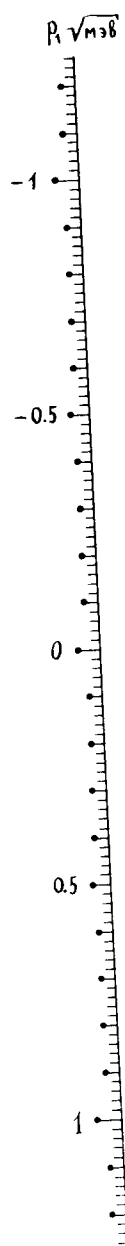


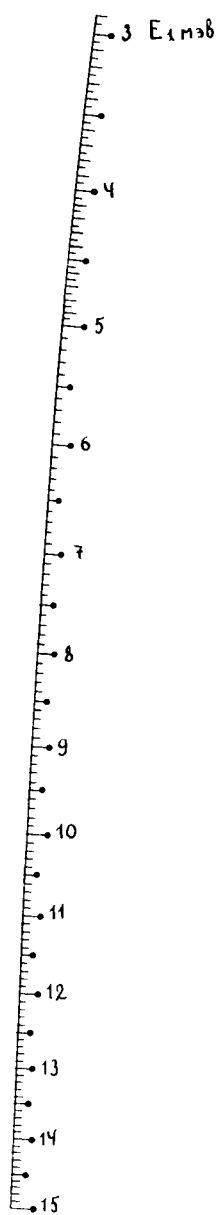


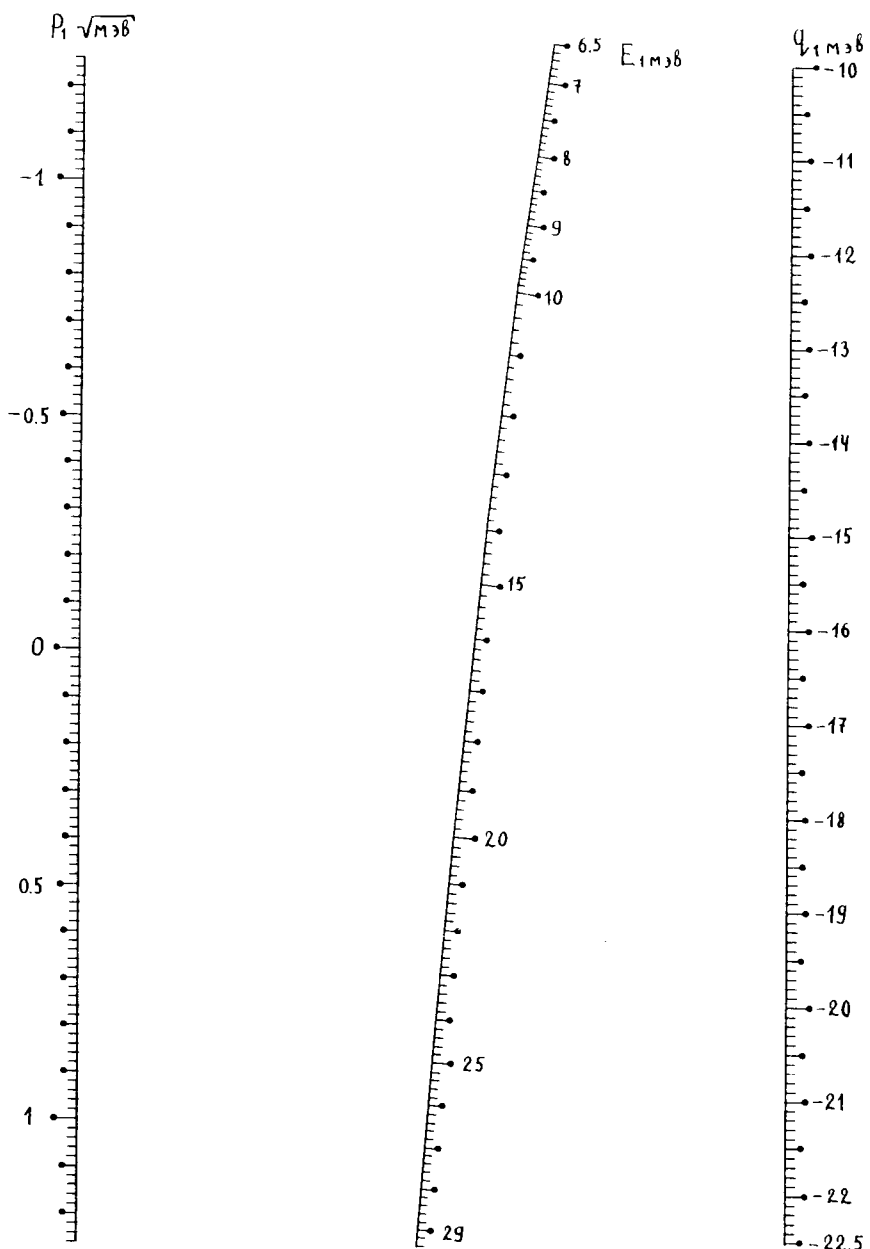


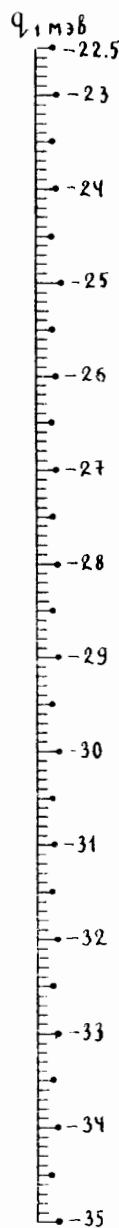
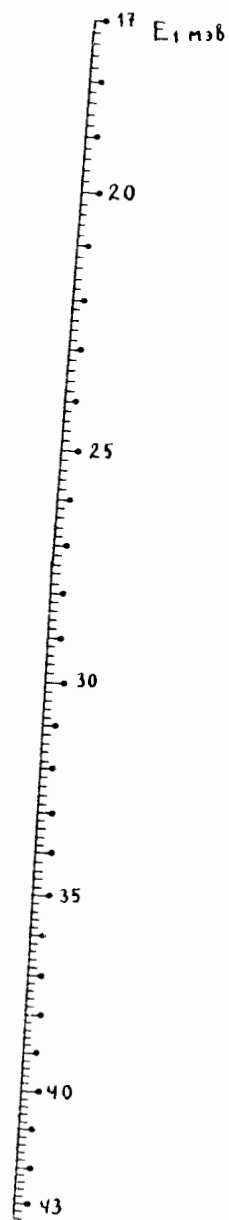
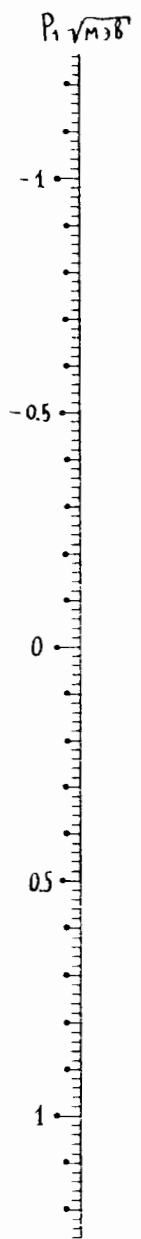


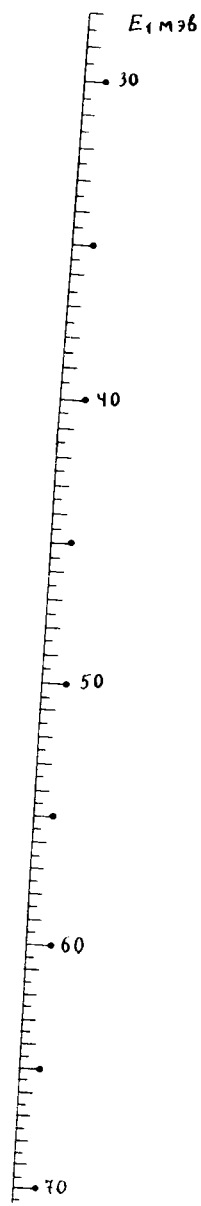
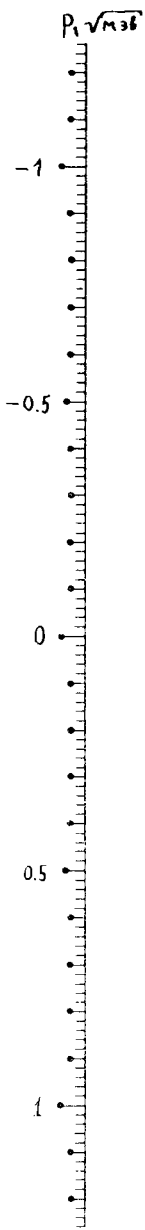


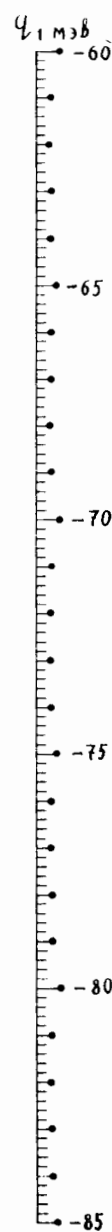
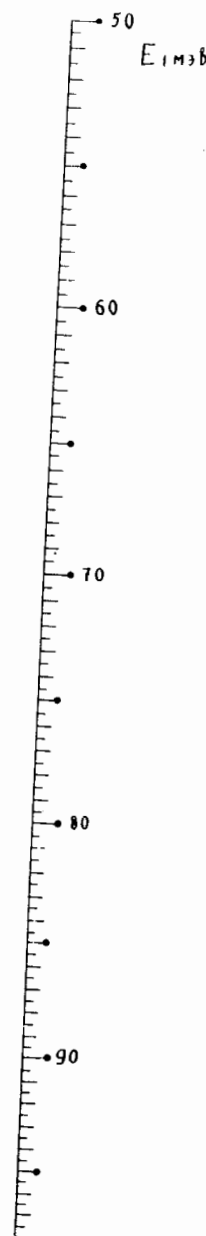
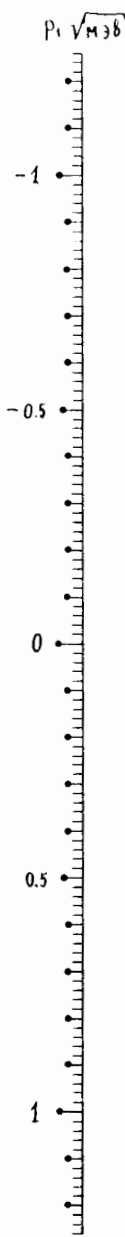


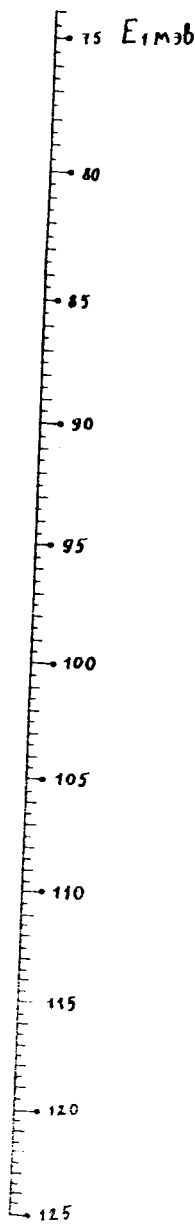
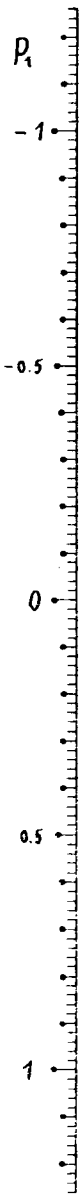








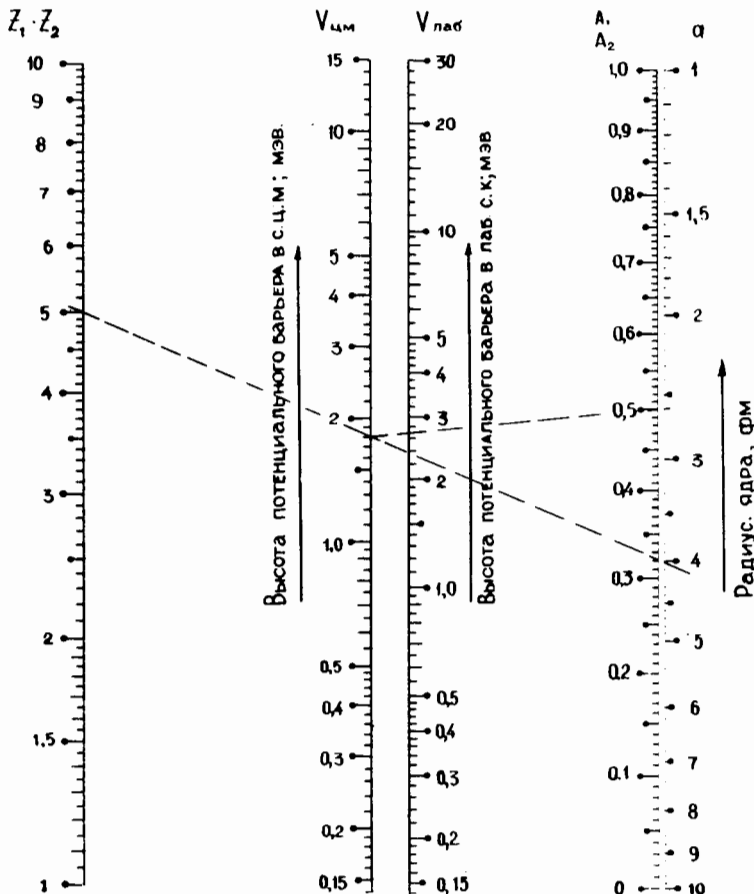




$$V_{\text{ЦМ}} = 1,44 \frac{Z_1 Z_2}{a}$$

1 2

$$V_{\text{лаб}} = V_{\text{ЦМ}} \left( 1 + \frac{A_1}{A_2} \right)$$



Пример дано : Z<sub>1</sub>Z<sub>2</sub> = 5; a = 4 фм; A<sub>1</sub>/A<sub>2</sub> = 0,5

находим : V<sub>ЦМ</sub> = 1,8 мэв ; V<sub>лаб</sub> = 2,7 мэв